

Ecole Polytechnique
de
THIES

GENIE CIVIL

GC.0432

Projet de Fin d'études

TITRE: Comparaison des Normes Canadiennes et Françaises en Béton Armé.

Théorie à la rupture



Auteur

Boroma SARR

Directeur du Projet

Mr. Roger LUPIEN

REMERCIEMENTS

j'adresse mes sincères et vifs remerciements à tous ceux qui de loin ou de près ont participé à l'élaboration de ce projet. Plus particulièrement à

- Monsieur ROGER Lupien, Directeur de mon projet, par son apport constant tout le long de son élaboration.
- Monsieur CHérif Oumar DIAGNE: responsable de la Bibliothèque
- L'Elève Ingénieur Karimou Gueye. 3^e année Genie Mécanique

je dédia ce projet à tous
mes parents et amis

SOMMAIRE

Nous avons choisi de porter notre étude sur six points constituant aussi les six chapitres du projet à savoir

- chapitre 1 combinaisons de charges et Facteurs de sécurité.
- 2 caractéristiques des matériaux
- 3 Flexion simple
- 4 Cisaillement
- 5 Compression
- 6 Critères de ruine (flèche et fissuration)

Il en ressort de cette étude que les deux règlements ne présentent pas de différence notable dans les résultats; cependant on remarque une certaine différence sur la philosophie des deux approches. Ainsi à partir des applications que nous avons faites à l'aide d'exemples numériques, les deux règlements conduisent globalement à la même consommation d'acier pour l'armature longitudinale. Quant à l'armature transversale les normes canadiennes (C.S.A. A23.3 M77) consomment jusqu'à 25 à 50 % d'acier de moins que les normes Françaises (B.A.E.L 80) pour un béton donné les calculs sont conduits avec les bétons les plus couramment utilisés, c'est à dire de capacité: 20, 25, 30, 40 MPa et comme armatures, les aciers naturels ou fortement écoronis de limite d'élasticité f_y (C.S.A. A23.3 M77) ou f_c (B.A.E.L 80) = 300, 350, 400 MPa

TABLE DES MATIERES

	Page
Introduction	1
chapitre 1 : Combinaisons de charges et Facteurs de sécurité	3
1.1 combinaisons de charges	4
1.2 Facteurs de sécurité	5
Chapitre 2 Caractéristiques des matériaux	14
2.1 Béton	15
2.2 Acier	25
chapitre 3 Flexion simple	29
3.1 Hypothèses de calcul	30
3.2 section rectangulaire	32
3.2.1 Armature simple	33
3.2.2 Armature double	48
3.3 section en T'	57
Chapitre 4 Cisaillement	
4.1 Hypothèses de calcul	71
4.2 Principales formules	72

Chapitre 5 : Compression	82
5.1 Hypothèses de calcul	83
5.2 Compression centrée	83
5.3 Elancement	84
Chapitre 6 : Critères de ruine	
6.1 Flâcha	104
6.2 Fissuration	111
Conclusion	114
Bibliographie	118
ANNEXES	
Annexe A Notations	119 120
Annexe B Dérivation de formules	123
Annexe C Abaques	125

Liste des exemples

Analysé d'une section rectangulaire armée en tension exemple 1	Page 35
Design d'une section rectangulaire armée en tension exemples 2, 3	40
Design d'une section rectangulaire armée en compression exemples 4, 5	
Analysé d'une section en Té exemples 6, 7, 8	61
Calcul de l'espacement des armatures transversales d'une poutre en flexion simple exemple 9	76
Charge axiale maximale de service que l'on peut appliquer sur une colonne exemples 10, 11, 12	86
Design d'une colonne courte exemple 13, 14	90
Design d'une colonne élancée exemple 15	96
Calcul de flèche exemple 16	107

INTRODUCTION

Au Sénégal, la plupart des conceptions et calculs des ouvrages et constructions en béton armé se font avec les normes Françaises à travers les règles C.C.B.A. 68 qui sont basées sur "les contraintes admissibles".

L'amélioration des connaissances concernant le béton armé et l'expérience dans le calcul et la conception des structures appelaient des modifications ou corrections dans le détail des prescriptions des règles C.C.B.A 68.

La théorie des états limites a fait l'objet de nombreuses études d'approfondissement tant sur le plan national qu'au niveau international.

Pour l'ensemble de ces raisons, il est donc apparu opportun d'établir un règlement de calcul du Béton Armé aux Etats Limites (B.A.E.L) basé sur une meilleure analyse des conditions auxquelles doit satisfaire une construction.

Avec l'apparition de ces nouvelles règles et leur application dans les prochaines années dans notre pays, ce projet a un double but : d'abord il permettra surtout à nous, ingénieurs sortant de l'Ecole polytechnique de Thiès et autres, qui avons fait des calculs de Béton armé

avec la théorie "aux états limites" suivant les normes Canadiens
nes (C.S.A A23.3 M77) de comprendre plus rapidement
les règles B.A.E.L pour une utilisation future.

Dans un deuxième temps, ce projet nous permettra de dégager
le règlement le plus économique du point de vue consommation
d'acier ou de béton.

Nous ne ferons pas un exposé complet des théories et
prescriptions des deux règlements. Ne sont traités dans cette
étude que les cas usuels qui constituent d'ailleurs et de loin
la majorité des calculs qu'un ingénieur est amené à
conduire dans sa carrière. Pour les cas particuliers ; il y aura
lieu de s'inspirer des moyens et méthodes de calcul développés
dans les références mentionnées dans la Bibliographie.

CHAPITRE 1

COMBINAISONS de CHARGES

et

FACTEURS de SECURITE

Règles C.S.A. A.23.3.M#7

1.1 Combinaison de charges

Règles B.A.E.L 80

$$U = \alpha_0 D + \psi (\alpha_L L + \alpha_W W + \alpha_T T)$$

D = charges permanentes ou charges mortes

L = surcharges ou charges vives

W = charges de vent

T = effets de la température

$$U = 1.35 (G_{\max} + G_{\min} + \gamma_{Q_1} Q_1 + \sum \gamma_{Q_i} Q_i)$$

G_{\max} : actions permanentes dont l'effet est dépendante

G_{\min} : actions permanentes dont l'effet est favorable

Q_1 : une action variable dite de base

Q_i : les autres actions variables dites d'accompagnement (avec $i > 1$)

1.8 Facteurs de sécurité	Règles B.A.E.L 80
<u>facteurs de pondération</u>	
$\alpha_0 = 1.4$	$\delta_G = 1.35$
$\alpha_L = 1.7$	$\delta_{Q_1} = 1.50$
$\alpha_W = 1.7$	$\delta_{Q_2} = 1.2$
$\alpha_T = 1.4$	$\delta_{Q_U} = 0.8$

Règles C. S. A. A. 23. 3. M 77	Règles B.A. E.L 80
<p>Actions variables de base Actions d'accompagnement δQ_1 δQ_2</p> <ul style="list-style-type: none"> - charges appliquées en cours d'exécution - charges d'exploitation sur ponts ferroviaires - charges d'exploitation sur planchers des bâtiments 	<p>Vent</p> <p>1.3</p> <p>Vent et ou neige</p> <p>1.2</p> <p>Vent et / ou neige</p> <p>appliqués aux bâtiments</p> <p>1.04</p> <p>- charges d'exploitation pour : locaux de logement, salle de classe, bureaux, boutiques, bibliothèques grande surface de vente</p> <p>- charges d'exploitation pour aire de stockage, archivage, salles de spectacles</p> <p>1.3</p>

Règles C.S.A. A.23.3 M77	Règles B.A.E.L 80
<p><u>facteur de performance</u> ϕ</p> <ul style="list-style-type: none"> - Flexion $\phi = 0.9$ - Gisaillement - Torsion $\phi = 0.85$ - Eléments comprimés spirales $\phi = 0.75$ - Eléments comprimés ligaturés $\phi = 0.70$ <p><u>facteur de simultanéité</u> ψ</p> <ul style="list-style-type: none"> • de facteur de simultanéité (ψ_{oi}) est inclus dans les coefficients δq_i ($i \geq i_0$) ($\delta q_i = 1.3 \psi_{oi}$) • $\psi = 0.75$ pour D, L, w 	<p><u>facteur de performance</u> $\frac{1}{\delta s}$ (avec $\delta s = 1.5$ ou 1.15)</p> <ul style="list-style-type: none"> - $\frac{1}{\delta s} = 0.67$ ou 0.87 - $\frac{1}{\delta s} = 0.83$ ou 1 avec $\delta s = 1.15$ ou 1

Discussion explicative.

Règles C.S.A. A23.3 M77

les normes canadiennes utilisent un facteur de simultanéité pour tenir compte de la probabilité que ces charges soient présentes simultanément. Il vaut généralement 0.75.

Le facteur de performance (ϕ) tient compte de la réduction possible de la résistance du matériau mis en œuvre par rapport à sa résistance caractéristique définie a priori. Ce facteur varie suivant les sollicitations.

Règles B.A.E.L 80

Les normes françaises emploient un facteur de simultanéité (ψ_{oi}). Des actions variables d'accompagnement Q_i ($i > 1$) sont pondérées par des coefficients $\delta Q_i = 1.3 \psi_{oi}$, dépendant de la nature des actions considérées. Pour les effets dus à la température, le coefficient a pour valeur $\delta Q_i = 0.8$ quelle que soit la nature de l'action de base.

Pour les autres actions, les coefficients δQ_i sont donnés par le tableau en fonction de la nature de l'action de base.

Le coefficient de minoration γ_b est appliqué sur la résistance du béton jouant ainsi le rôle d'un facteur de performance. Ce facteur vaut 1.5 pour les situations durables ou transitoires et 1.15 pour les situations accidentelles, même chose pour γ_s appliquée sur la limite d'écoulement de l'acier mais avec les valeurs 1.15 et 1.

Discussion comparative

Pour faire une comparaison des deux règlements, nous allons faire un exemple numérique sommaire en calculant le facteur de sécurité sur une poutre en ne considérant que le chargement.

Exemple :

Soit une poutre sur appuis simples soumise aux charges de service suivantes

charges permanentes = 150 kN

surcharges = 90 kN

Calculer le facteur de sécurité et tracer la courbe donnant le facteur de sécurité en fonction du rapport charges permanentes sur surcharges



Règles C.S.A. A.23.3.M.77

$$\begin{aligned} D &= 150 \text{ kN} \\ L &= 90 \text{ m} \end{aligned}$$

$$\gamma_L = 1.66$$

$$F.S = \frac{\alpha_D D + \alpha_L L}{\phi(D+L)} = \frac{\alpha_D (\frac{D}{L}) + \alpha_L}{\phi(\frac{D}{L}) + 1}$$

ϕ = facteur de performance = 0.9

$$\alpha_D = 1.4$$

$$\alpha_L = 1.7$$

$$F.S = \frac{1.4 \times 150 + 1.7 \times 90}{0.9 (150 + 90)} = 1.68$$

Règles B.A.E.L.80

$$\begin{aligned} G &= 150 \text{ kN} \\ Q_1 &= 90 \text{ kN} \end{aligned}$$

$$G/Q_1 = 1.66$$

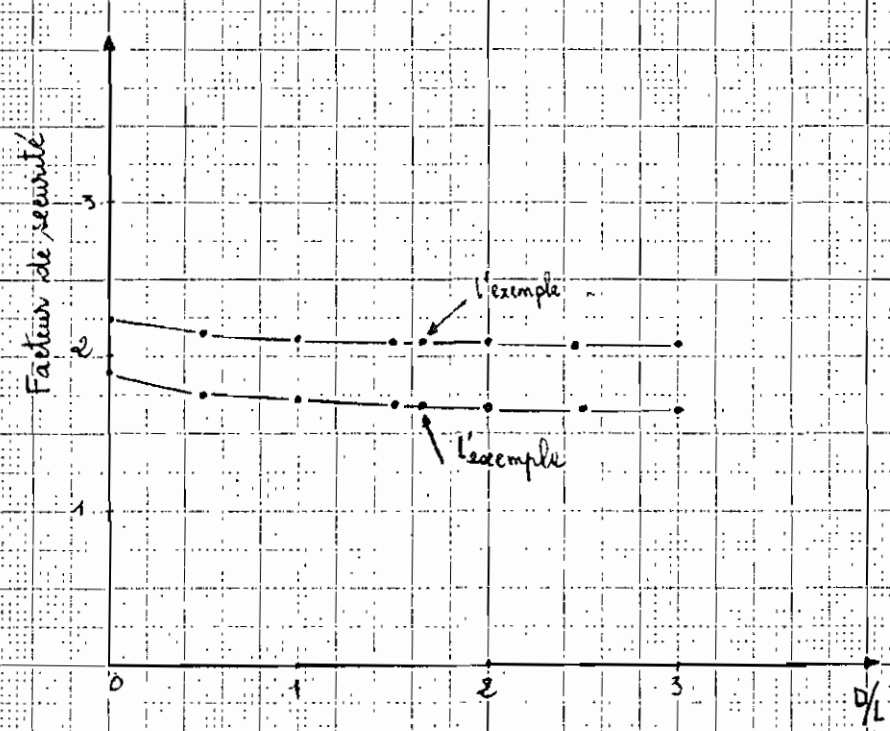
$$F.S = \frac{\gamma_G G + \gamma_{Q_1} Q_1}{\frac{1}{\delta_b} (G + Q_1)} = \frac{\gamma_G (\frac{G}{Q_1}) + \gamma_{Q_1}}{\frac{1}{\delta_b} (\frac{G}{Q_1} + 1)}$$

$$\gamma_G = 1.5 \quad \gamma_{Q_1} = 0.67$$

$$\gamma_G = 1.35$$

$$\gamma_{Q_1} = 1.5$$

$$F.S = \frac{1.35 \times 150 + 1.5 \times 90}{0.67 (150 + 90)} = 2.1$$



Courbes donnant le facteur de sécurité en fonction du rapport
charge morte sur charge vive (%) en ne considérant
que le chargement

Règles C.S.A. A23.3.M77

Règles B.A.E.L. 80

Facteur de sécurité (F.S) en fonction du rapport charge morte sur charge vive (D/L) en ne considérant que le chargement

D/L	0	0.5	1	1.5	1.66	2	2.5	3
F.S	1.68	1.77	1.72	1.69	1.68	1.66	1.65	1.64

$\%/\%$	0	0.5	1	1.5	1.66	2	2.5	3
F.S	2.24	2.16	2.13	2.10	2.10	2.09	2.08	2.07

On constate d'après la courbe donnant le facteur de sécurité en fonction du rapport de la charge morte sur la charge vive, en ne considérant que le chargement, que les règles B.A.E.L 80 présentent un facteur de sécurité plus élevé qui vaut en moyenne 2.12 et les règles C.S.A.A 23.3 M77, un facteur de sécurité de 1.7 en moyenne, soit une différence de 24%.

CHAPITRE 2

CARACTERISTIQUES
des
MATERIAUX

Règles C.S.A.A23.3 M77

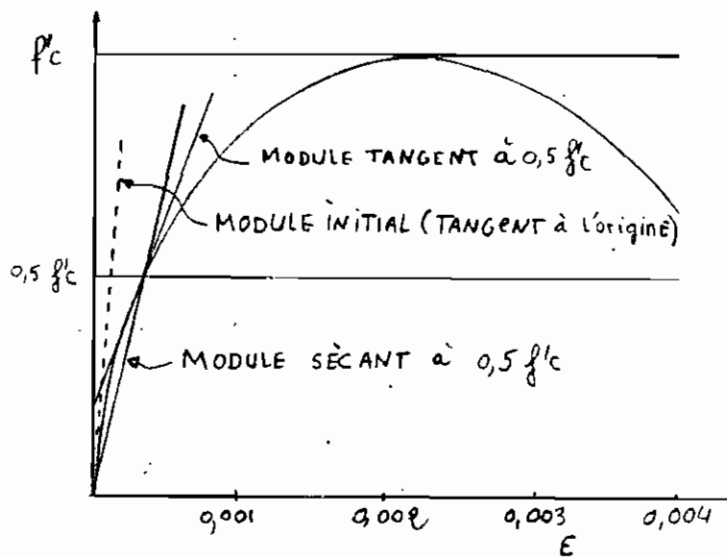
2-1 Bâton

Règles B.A.E.L 80

Spécimen utilisés pour les essais de résistance en compression

cylindre : { diamètre 15 cm
hauteur 30 cm

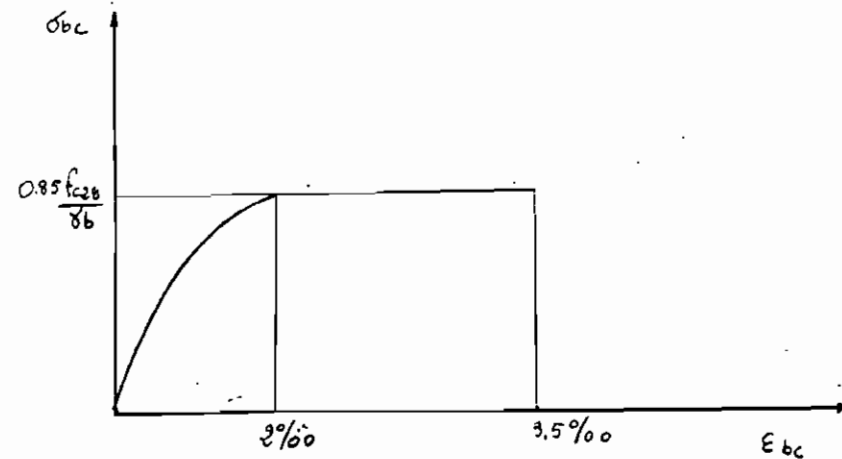
Diagramme: contraintes - déformations



Spécimen utilisés pour les essais de résistance en compression

cylindre : { diamètre 16 cm
hauteur 32 cm

Diagramme: contraintes - déformations



<p>Règles C.S.A. A23.3 M177</p> <p><u>Module d'élasticité</u></p> $E_c = 0.043 \rho^{1.5} \sqrt{f'_c} \quad (6.4)$ <p>pour le béton normal $\rho = 2400 \text{ kg/m}^3$</p>	<p>Règles B.A.E.L 80</p> <p><u>Module d'élasticité</u></p> $E_i = 12000(f_{c'cr})^{1/3} \quad \text{module de "courte durée"} \\ E_v = \frac{E_i}{3} = 4000(f_{c'cr})^{1/3} \quad \text{module de "longue durée"} \quad (A.2.1, 2.1)$
<p><u>Coefficient de Poisson</u></p> $\nu = \frac{\sqrt{f'_c}}{29}$ <p>généralement $\nu = 0.17$</p>	<p><u>Coefficient de Poisson</u></p> $\nu = 0.20 \quad \text{pour le béton non fissuré}$ $\nu = 0 \quad \text{en cas de fissuration}$

Règles C.S.A. A23.3 M77

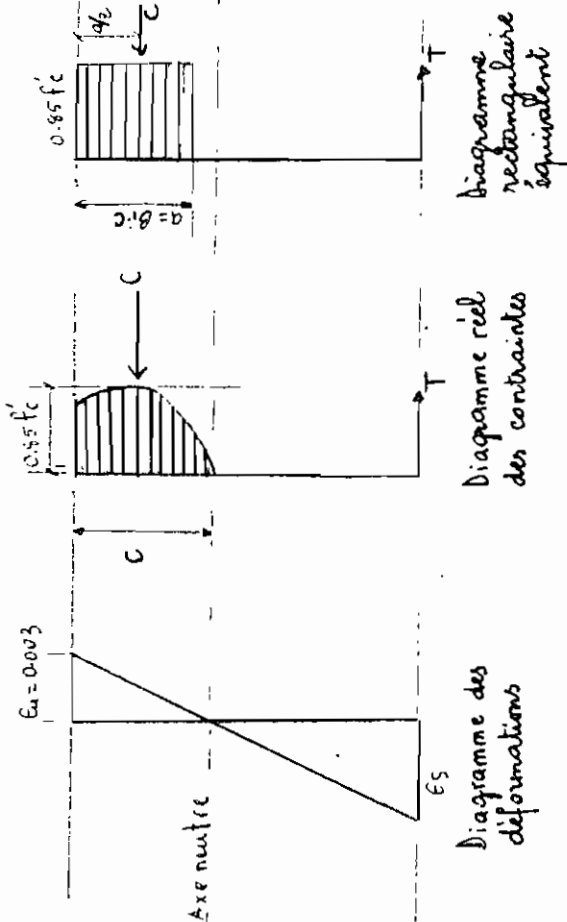


Diagramme des
déformations

Diagramme réel
des contraintes

Règles B.A.E.L 80

Diagramme rectangulaire

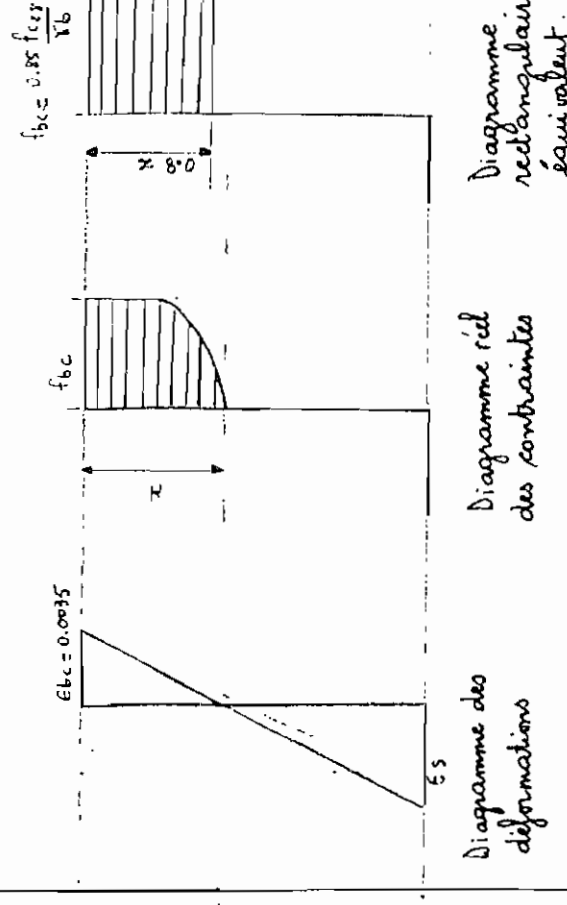


Diagramme des
déformations

Diagramme réel
des contraintes

Diagramme rectangulaire

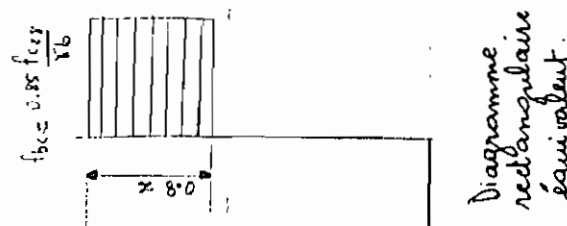


Diagramme
semi-circulaire
équivalent.

Discussion explicative

Règles C.S.A. A23.3 M77

Diagramme: contraintes - déformations

Le béton n'a pas un rapport contrainte-déformation (f_c/ϵ) constant qui justifie le terme "module d'élasticité". Le module d'élasticité du béton varie avec la résistance. Il dépend aussi à un degré moindre de l'âge du béton, des propriétés des agrégats et du ciment, du taux de chargement et enfin du genre et des dimensions du specimen. Il existe plusieurs définitions du module d'élasticité parmi lesquelles on peut nommer le module initial, le module tangent et le module secant.

La pente initiale de la courbe contrainte-déformation définit le "module initial" qui est peu conforme à prédire les déformations pour une contrainte donnée.

Comme les contraintes de service sont habituellement au voisinage de $0.5 f'_c$, on a choisi cette valeur de contrainte pour définir le "module tangent". On l'utilise surtout dans le calcul de flambage.

La pente de la droite passant par l'origine et par le point correspondant à environ $0.5 f'_c$ détermine le "module secant" lequel est consi-

déré en général comme le module d'élasticité à utiliser
le code utilise le module secant pour définir le module
d'élasticité

Diagramme rectangulaire

La déformation ultime de la fibre extrême comprimée pour
le béton est supposée égale à $\epsilon_u = 0.003$

La contrainte maximale du béton est égale à $0.85 f'_c$

la côté du rectangle de Whitney $a = \beta_1 c$

avec $\beta_1 = 0.85$ pour $f'_c \leq 27.5 \text{ MPa}$

$$\beta_1 = 0.85 - 0.05 \frac{(f'_c - 27.5)}{6.9} \quad \text{si } f'_c > 27.5 \text{ MPa}$$

$$\beta_1 \geq 0.65$$

Règles B.A.E.L 80

Diagramme: déformations - contraintes

Le diagramme déformations - contraintes du béton pouvant
être utilisé dans tous les cas est le diagramme de
calcul dit "parabole - rectangle"

Il comporte un arc de parabole du second degré
d'axe parallèle à l'axe des contraintes de compression σ_{bc}
suivi d'un segment de droite parallèle à l'axe des
déformations ϵ_{bc} et tangent à la parabole en son som-
met. Le segment s'étend entre les valeurs 2% et 3.5%
de la déformation ϵ_{bc} . L'arc de la parabole s'étend
de l'origine des coordonnées jusqu'à son sommet

$$\text{de coordonnées } \epsilon_{bc} = 2\% \text{ et } \sigma_{bc} = \frac{0.85 f'_{c,r}}{\epsilon_{bc}}$$

Le coefficient γ_b est un coefficient de sécurité qui a pour objet de tenir compte de la dispersion de la résistance du béton ainsi que d'éventuels défauts localisés. Il vaut 1.5 pour les situations durables et 1.15 pour les situations accidentelles.

Le coefficient de minoration 0.85 de la résistance du béton tient compte de l'influence défavorable :

- de la durée d'application de la charge : en effet les résistances caractéristiques sont déterminées à partir de l'application de charges instantanées aux épreuves ; la longue durée d'application d'une partie des charges entraîne une diminution de la résistance du béton

- des conditions de bétongage et d'hygrométrie qui conduisent à la face supérieure de la zone comprimée à une dessication plus rapide et en conséquence une diminution de la résistance à la compression

Module d'élasticité :

Le module secant est utilisé pour définir le module d'élasticité. Il correspond à des contraintes au plus égales à 0.5 f_{ck}

Diagramme rectangulaire

La déformation ultime de la fibre comprimée $\epsilon_{bc} = 0.0035$

La contrainte de calcul du béton est $f_{bc} = \frac{0.85 f_{c28}}{\gamma_b}$

Le côté du rectangle de Whitney est toujours presque égal à $0.8 x$.

Discussion comparative

Nous allons comparer les deux règlements en calculant le module de Young pour les bétons qui ont les résistances suivantes : 20 MPa ; 25 MPa ; 30 MPa , 35 MPa , 40 MPa .

Exemple de calcul ($f'_c = 20 \text{ MPa}$)

• Règles C.S.A. A23.3 M77

Pour un béton normal

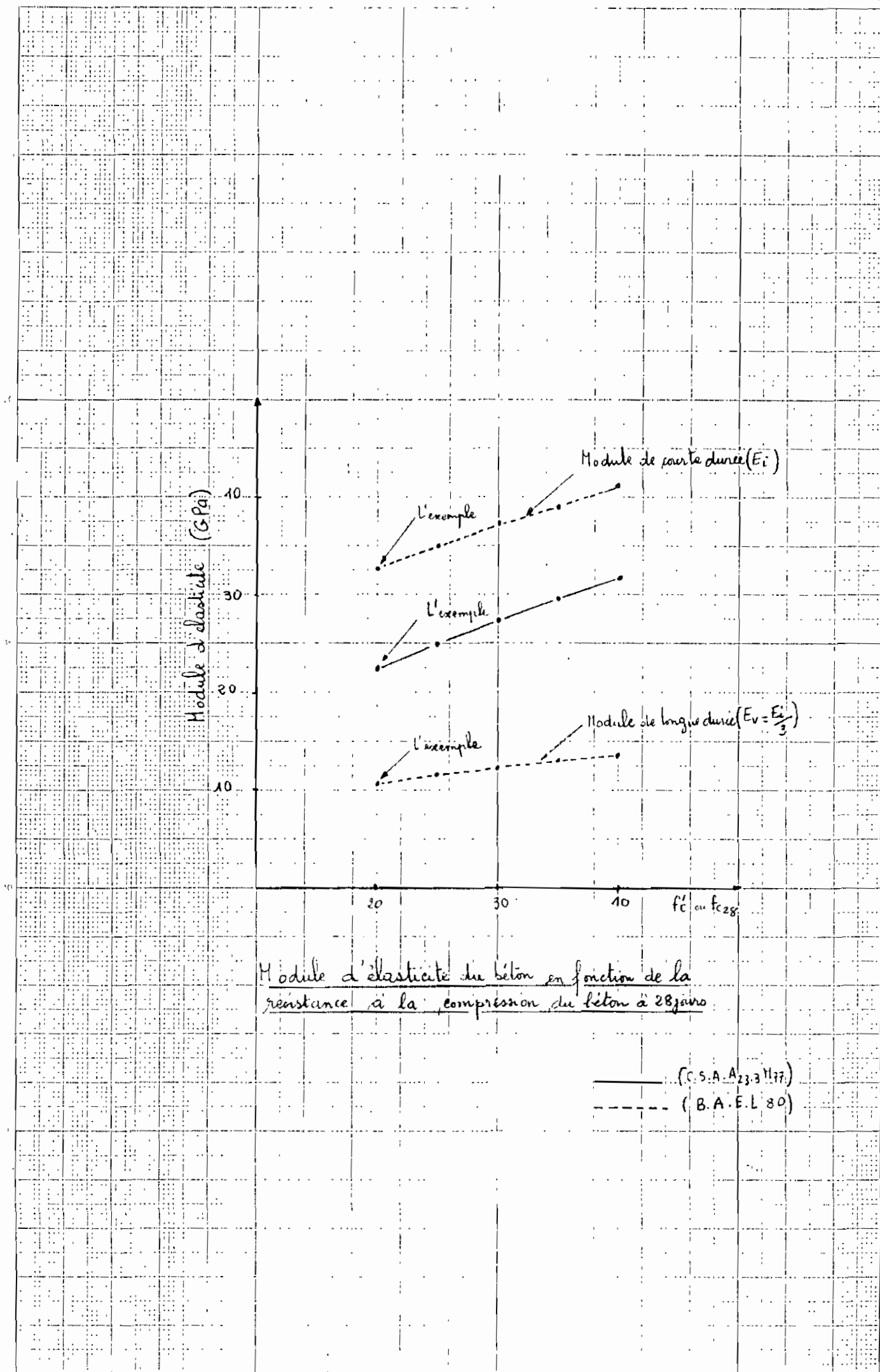
$$E_c = 5000 \sqrt{f'_c} = 5000 \sqrt{20} = 22360 \text{ MPa} = 22.36 \text{ GPa}$$

• Règles B.A.E.L 80

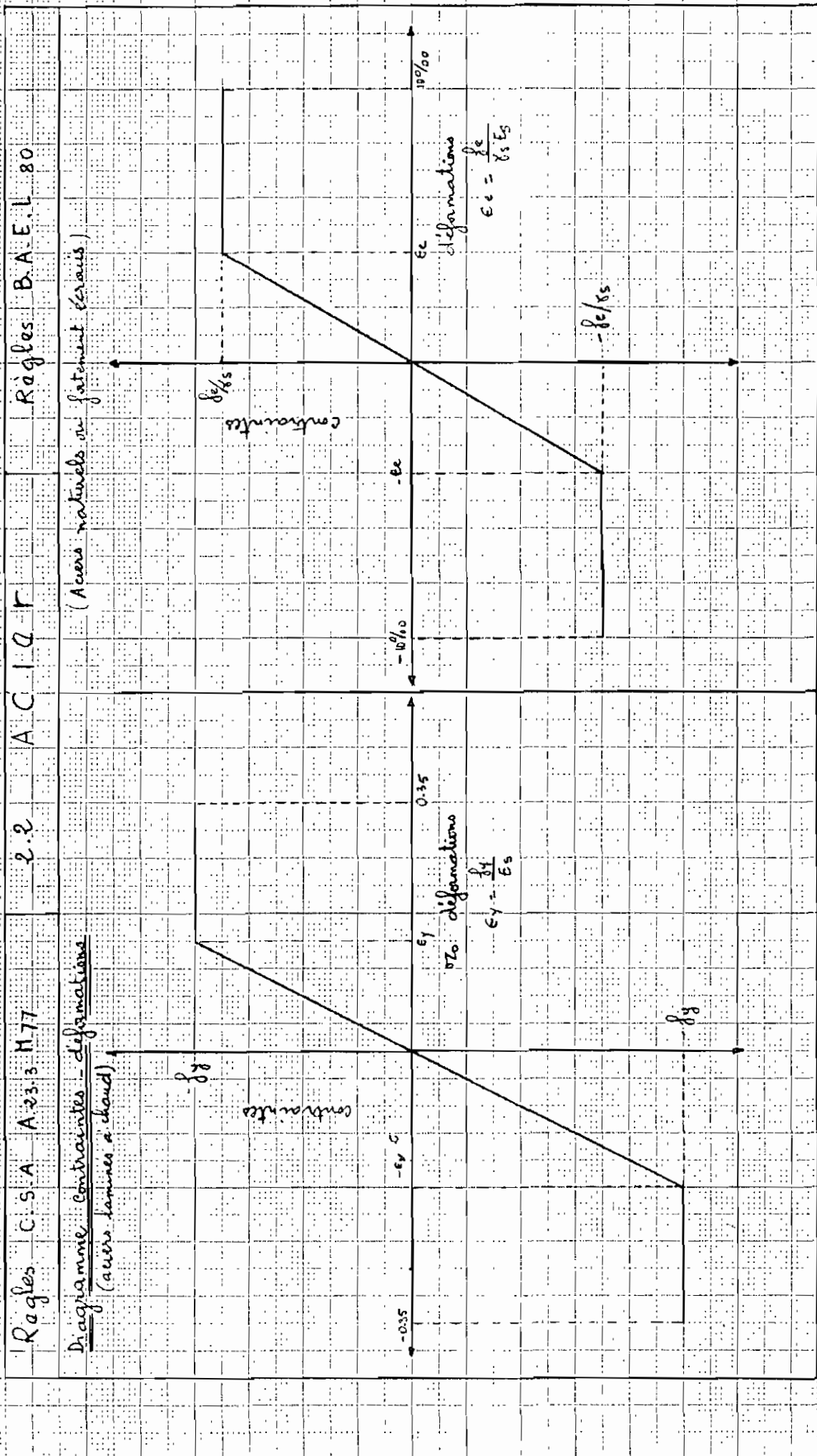
$$\text{Module de courte durée } E_i = 12000 (f'_{c,s})^{\frac{1}{3}} = 12000 (20)^{\frac{1}{3}} =$$

$$E_i = 32573 \text{ MPa} = 32.57 \text{ GPa}$$

$$\text{Module de longue durée } E_r = \frac{E_i}{3} = \frac{32.57}{3} \text{ GPa} = 10.86 \text{ GPa}$$



Les règles B.A.E.L définissent deux modules, un module pour les applications de courte durée noté' (E_i) et un module de longue durée ($E_v = E_i/3$). En étudiant les courbes donnant le module d'élasticité en fonction de la résistance à la compression du béton, on constate que les valeurs données par les règles C.S.A. A23.3 sont en moyenne le double des valeurs du module de longue durée donné' par les règles B.A.E.L, ou les $\frac{2}{3}$ du module de courte durée.



Règles C.S.A. A23.3 M77	Règles B.A.E.L 80
<u>Module d'élasticité</u>	<u>Module d'élasticité</u>
$E_s = 200 \text{ GPa}$	$E_s = 200 \text{ GPa}$
<u>Coefficient de Poisson</u>	<u>Coefficient de Poisson</u>
$\nu = 0.30$	$\nu = 0.30$

Discussion explicative

Règles C.S.A. A 03.3.M 77

Le diagramme contraintes - déformations est valable pour l'acier laminé à chaud. La norme exige que la déformation correspondant à f_y n'excède pas 0.35% (A.2.1)

- Le diagramme est symétrique par rapport à l'origine des coordonnées.

Le module d'élasticité $E_s = 200 \text{ GPa}$.

Règles B.A.E.L 80

Le diagramme contraintes - déformations est valable pour les aciers naturels ou fortement écrasés (type 1, 3 et 4)

- type 1 : barres à haute adhérence obtenues par laminage à chaud d'un acier naturellement dur.

- type 3 : fils à haute adhérence obtenus par laminage à chaud suivi d'un écrasage par tréfilage et/ou laminage à froid.

- type 4 : treillis soudés formés par assemblages de barres ou de fils, lisses ou à haute adhérence.

Le module d'élasticité est pris égal à 200 GPa quel que soit l'acier considéré.

La norme exige que la déformation correspondant à f_{c/f_s} n'excède pas 10%. (A. 2.2.2.1)

Discussion Comparative

Les deux règlements utilisent le même module d'élasticité ($E_s = 200 \text{ GPa}$). La différence qu'il faut noter se trouve au niveau de la contrainte de calcul de l'acier et de la déformation ultime permise.

Les règles C.S.A. A23.3 M77 utilisent la limite d'écordelement de l'acier (f_y) comme contrainte de calcul tandis que les règles B.A.E.L appliquent un coefficient de minoration (γ_s) qui est un coefficient de sécurité sur la limite d'écordelement (f_e). $\gamma_s = 1.15$ pour les situations durables ou transitoires et 1.0 pour les situations accidentelles.

La déformation ultime permise par les règles C.S.A. A23.3 est $\epsilon_s = 0.35\%$; et celle permise par les règles B.A.E.L $\epsilon_s = 10\%$.

CHAPITRE 3

FLEXION SIMPLE

Règles C.S.A. A35.3 M77	3-1 Hypothèses de calcul	Règles B.A.E.L 80
- les sections planes démentrent planes, ce qui entraîne que les déformations dans le béton et l'acier sont proportionnelles à la distance à l'axe neutre (8.3.2)	- idem (A. 4.3.2)	
- La résistance du béton à la traction est négligée (8.3.5)	- idem (A. 4.3.2)	
- A une même distance de l'axe neutre, la déformation dans l'acier est la même que dans le béton (compatibilité des déformations : pas de glissement relatif)	- idem	
- Des forces internes sont en équilibre sous l'action des charges extérieures.	- idem	
- La déformation ultime à la fibre extrême comprimée pour le béton sera supposée égale à $\epsilon_{tu} = 0.003$ (8.3.3)	- La déformation ultime à la fibre extrême comprimée pour le béton sera supposée égale à $\epsilon_{tu} = 0.0035$ (A. 4.3.3)	30

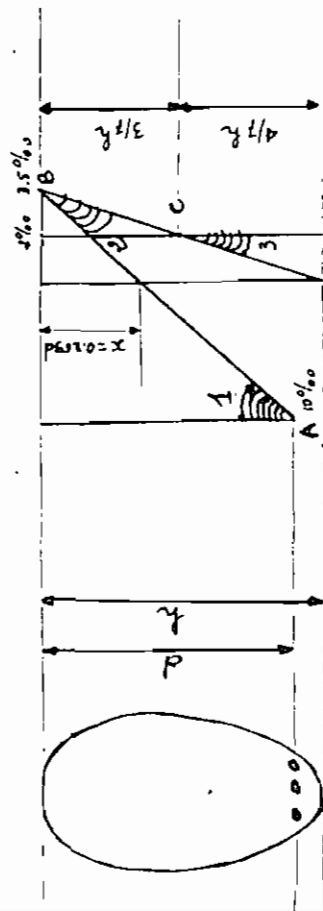
Règles C.S.A. A.23.3.H 77	Règles B.A.E.L 80
<ul style="list-style-type: none"> Pour des raisons pratiques la distribution rectangulaire équivalente (whitney) sera adaptée avec pour contrainte maximale du béton $0.85 f_{c28}$ Pour les déformations supérieures à celles correspondant à f_y, les contraintes dans l'armature seront superposées indépendantes des déformations et prises égales à f_y (8.3.4). Pour des axes de résistance supérieure à 400 MPa la seule contrainte-déformations nelle devra être utilisée (8.3.4) 	<ul style="list-style-type: none"> Pour les sections partiellement comprimées seule la distribution rectangulaire équivalente sera adaptée avec pour contrainte maximale du béton $0.85 f_{c28}$ La contrainte de calcul dans l'acier sera prise égale à f_y/γ_s - Un groupe de barres disposées en plusieurs lots est équivalent à une barre unique, située au centre de gravité du groupe - 1er étage

Règles C.S.A. A23.3. M77

3.8 ANALYSA : section rectangulaire

Règles B.A.E.L 80

Diagramme de déformations de la section : pivots



Le diagramme de déformation de la section correspond à un état limite s'il passe par un des trois pivots A, B ou C. La valeur de x détermine celui des domaines dans lesquels est 'réalisé' le diagramme limite

Domaine 1

$$x \leq 0.259 d$$

Domaine 2

$$0.259 d \leq x \leq h$$

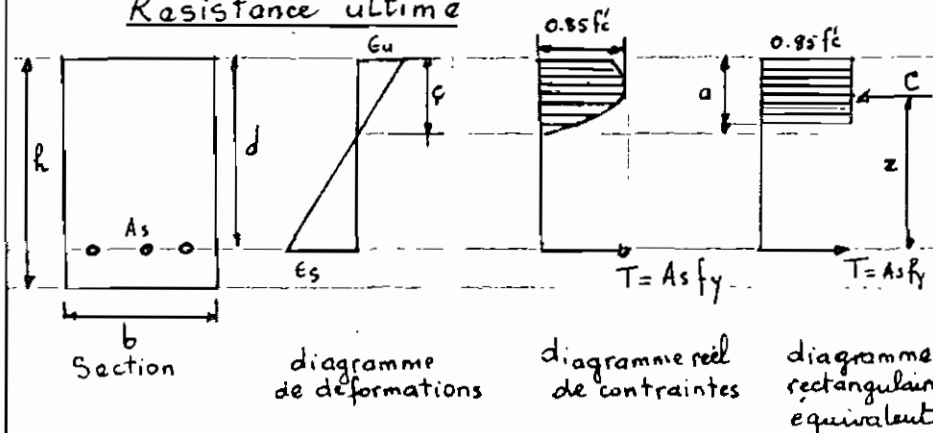
Domaine 3

$$x \geq h$$

Règles C.S.A. A23.3 M77

3.2.1 Section rectangulaire avec armature de tension

Résistance ultime



• Forces internes en équilibre.

$$c = 0.85 f'_c b x a$$

$$T = A_s f_y$$

• bras de levier

$$z = d - a/2$$

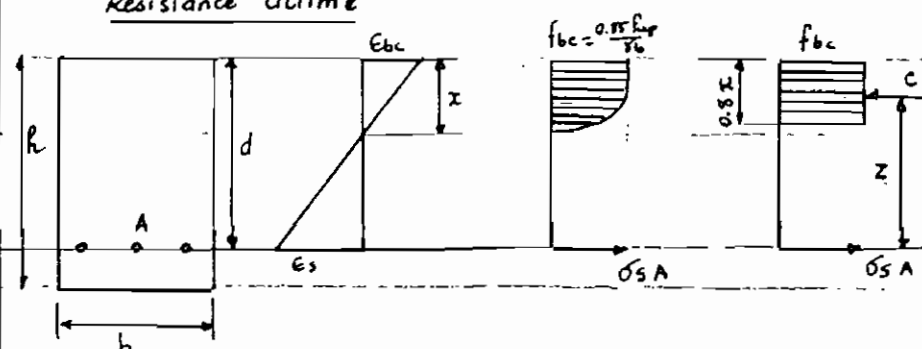
• Moment résistant ultime

$$M_u = \phi A_s f_y (d - a/2)$$

Règles B.A.E.L 80

Section rectangulaire avec armature de tension

Résistance ultime



• Forces internes en équilibre.

$$c = f_{bc} x 0.8 \times b$$

$$T = \sigma_s A = f_{yf} \gamma_{sf} A$$

• bras de levier

$$z = d - 0.4 x$$

• Moment équilibré par le béton (M_b)

$$M_b = 0.8 b x (d - 0.4 x) f_{bc} = \sigma_s A (d - 0.4 x) = \frac{f_e}{\gamma_s} A (d - 0.4 x)$$

Règles C.S.A. A23.3 M77

Règles B.A.E.L 80

$$A_s = \left[1 - \sqrt{1 - \frac{4 M_Q}{1.7 b d^2 f_c}} \right] \times \frac{0.85 f'_c b d}{f_y}$$

Calcul des aciers

Calcul de la section d'armatures

$$A = \frac{M}{Z s} \quad \text{ou} \quad A = \left[1 - \sqrt{1 - \frac{4 M_b \gamma_s}{1.7 b d^2 f_{cu}}} \right] \times \frac{0.85 f_{cu} b d}{f_e \gamma_s}$$

Quantité d'acier minimale

$$\rho_{min} = \frac{1.4}{f_y}$$

Percentage d'acier: β_3 (conditions balancées)

$$\beta_3 = \frac{0.85 \beta_1 f'_c}{f_y} \times \left(\frac{600}{600 + f_y} \right)$$

$$\frac{1.4}{f_y} \leq \rho \leq 0.75 \beta_3$$

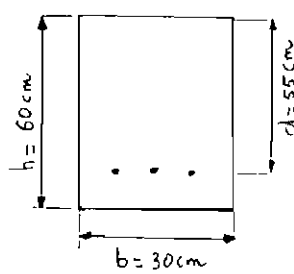
Expression équivalente (f_{max})

$$\rho_{max} = \frac{0.85 \times 0.8 f_{cu} \gamma_x}{f_e} \left(\frac{700}{700 + f_e \gamma_s} \right) \quad (\text{ref. Annexe B})$$

* expression dérivée pour but de comparaison

Exemple

Analyse, d'une poutre de section rectangulaire, avec armature de tension

exemple 1

Determiner le moment de service maximal que l'on peut appliquer sur cette section de poutre suivant différentes valeurs du pourcentage d'acier (γ par exemple $\gamma = 0,2 \rho_B$; $0,3 \rho_B$; $0,375 \rho_B$; $0,6 \rho_B$; $0,75 \rho_B$) en considérant les rapports moment de service (M_s) suivants : 0.5; 0.60; 0.75

Règles C.S. A. 23.3 M77	Règles B. A. E. 1 80
<p><u>exemple de calcul</u></p> <p>$\rho = 0.2 \rho_\beta$</p> <p>$M_0/M_s = 0.5$</p> <p><u>Calcul de f_β</u></p> <p>$f_g = 0.85 \beta_\beta \times \frac{f'_c}{f'_y} \left(\frac{600}{600 + f'_y} \right)$</p> <p><u>Moment résistant</u></p> <p>$M_R = \phi A f_y \left(d - \frac{\alpha s g A s f_y}{f'_c b} \right)$</p> <p>$= 0.9 \times 1040 \times 10^6 \times 400 \left(0.55 - \frac{0.59 \times 1040 \times 10^6 \times 400}{30 \times 10.3} \right) = 195.7 \text{ kNm}$</p>	<p>$A = 1040 \text{ mm}^2$</p> <p>$\gamma_s = 1.15$</p> <p>$\delta_b = 1.5$</p> <p>Le moment résistant $M = f_e / \gamma_s A (d - 0.4x)$</p> <p>$x = \frac{f_e A}{\gamma_s f'_c \times 0.86} = \frac{400}{1.15} \times \frac{1040 \times 10^{-6}}{0.85 \times 30 \times 0.8 \times 0.3} = 0.088 \text{ m} = 8.8 \text{ cm}$</p> <p>$0.259 d = 0.259 \times 55 = 14.2 \text{ cm}$</p> <p>$x < 0.259 d \Rightarrow$ le diagramme limite est dans le domaine 1 : le point est le point A</p> <p>$M = \frac{400}{1.15} \times 1040 \times 10^{-6} (0.55 - 0.4 \times 0.088) = 186.2 \text{ kNm}$</p> <p><u>Moment de service maximal</u></p> <p>Le moment de sollicitation \leq moment résistant</p> <p>$1.35 \times 0.5 M_s + 1.5 \times 0.5 M_s \leq 186.2 \text{ kNm}$</p>

Règles C.S.A.A. 23.3. H77

Règles B.A.E.L 80

Moment de service maximal.

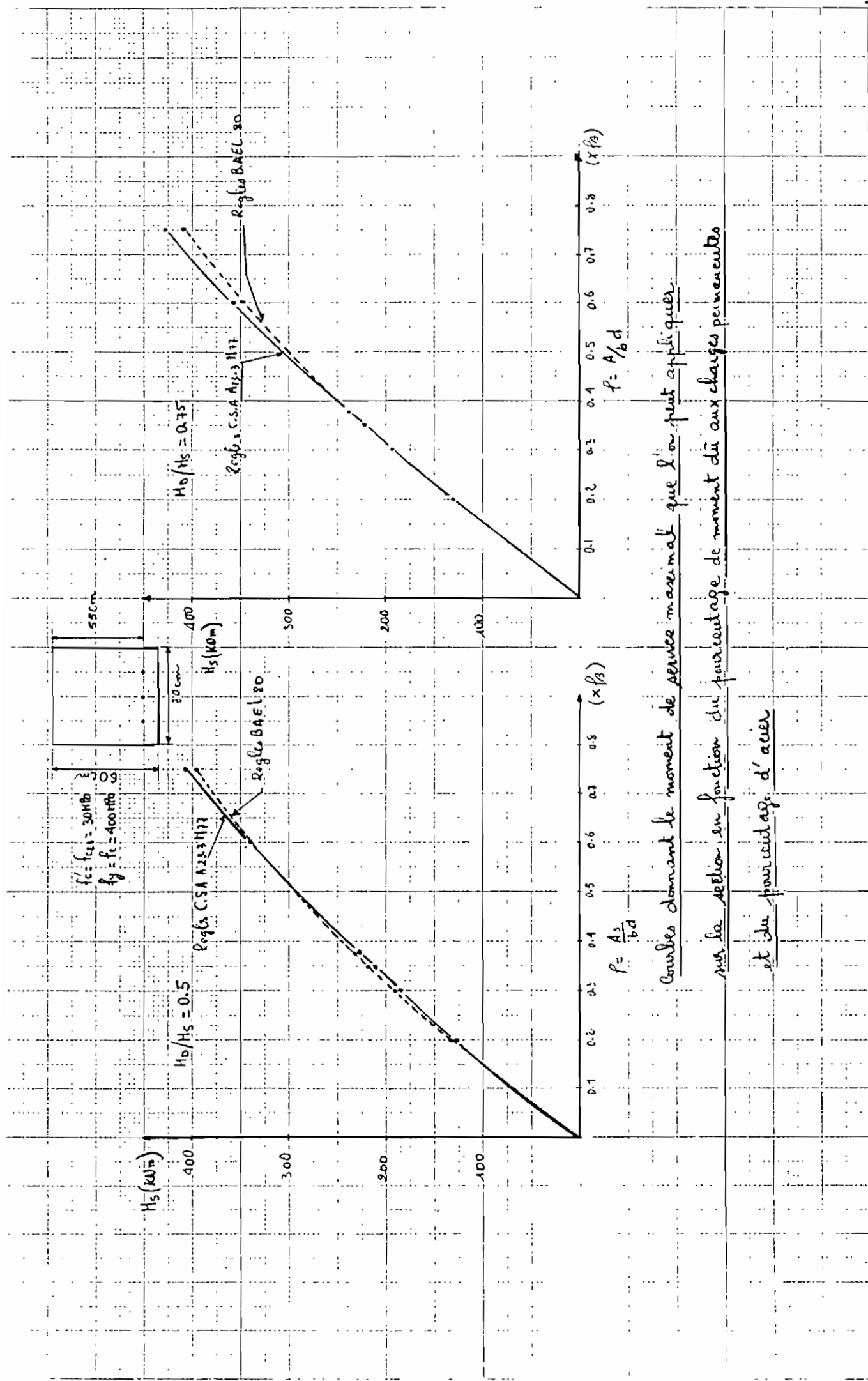
$$1.4 \times 0.5 H_s + 1.7 \times 0.5 H_s \leq 195 \cdot 7 \text{ KNm}$$

$$H_s \leq \frac{195 \cdot 7}{1.55} = \underline{\underline{126.2 \text{ KNm}}}$$

Tableau des résultats

$f = \frac{A_s}{bd}$	0.2f ₈	0.3f ₈	0.315f ₈	0.335f ₈	0.36f ₈	0.375f ₈
$H_d/H_s = 0.5$	126.2	185.5	213	227	341	407.4
$\frac{H_d}{H_s} = 0.6$	12.9	18.9	21.7	251.6	347.6	415.5
$\frac{H_d}{H_s} = 0.75$	132.7	194.7	224.3	238.7	358.2	429.1

$f = \frac{A}{bd}$	0.2f ₈	0.3f ₈	0.35f ₈	0.375f ₈	0.6f ₈	0.75f ₈
$H_c/H_s = 0.5$	190.7	190.2	218	231.4	339.4	398.6
$H_c/H_s = 0.6$	132	142	220.3	234	343	403



Conduissons demandant le moment de service maximal que l'on peut appliquer.

Sur la section en fonction du pourcentage de moment de flexion aux charges permanentes et du pourcentage d'acier

$$\rho = \frac{A_s}{bd} = \frac{\alpha s}{b} \quad p = \frac{A_s}{b} d$$

$$0.1 \quad 0.2 \quad 0.3 \quad 0.4 \quad 0.5 \quad 0.6 \quad 0.7 \quad 0.8 \quad (\times \beta)$$

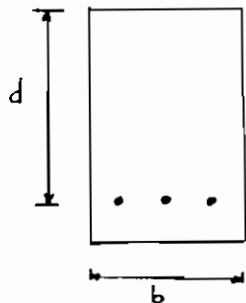
Discussion comparative

En traduisant les résultats de l'exemple sous forme de courbes donnant le moment de service maximal que l'on peut appliquer sur la section en fonction du pourcentage d'acier de tension et du pourcentage de moment dû aux charges permanentes (M_0/M_s ou M_0/m_s), on constate que dans le domaine usuel (c'est à dire $0.5 \leq M_0/M_s \leq 0.75$) les résultats donnés par les deux règlements sont sensiblement égaux jusqu'à des pourcentages d'acier d'environ $0.6 f_\beta$ (f_β étant le pourcentage d'acier aux conditions balancées d'après les règles C.S.A. A23.3 M77). Pour des pourcentages d'acier supérieurs à $0.6 f_\beta$, les règles C.S.A A23.3 M77 permettent d'augmenter le moment de service d'environ 3% par rapport au moment de service permis par les règles B.A.E.L 80.

Exemples

Exemple Design d'une section rectangulaire avec armature de tension.

S'rit la section de poutre suivante:



$$\begin{aligned}b &= 30 \text{ cm} \\d &= 53 \text{ cm} \\f'_c &= 35 \text{ MPa} \\f_y &= 350 \text{ MPa}\end{aligned}$$

Calculer la section d'acier requise si le moment de service maximal que l'on peut appliquer est $M_{S_1} = 278 \text{ kNm}$.

- On suppose que le rapport du moment causé par les charges permanentes (M_p) sur le moment de service maximal est égal $M_p/M_{S_1} = 0.85 ; 0.5 ; 1$

Exemple . 3

Même problème avec $M_{S_2} = M_{S_1/2} = 139 \text{ kNm}$

(les résultats apparaissent au tableau)

Règles C. S. A. A23.3. M77	Règles B.A.E.L 80
<u>Exemple de calcul</u> $M_s = 278 \text{ kNm}$ $M_0/M_s = 0.25$ le moment résistant de la section \geq moment appliquée parallèle $M_R \geq 1.4 M_0 + 1.7 M_L$ $M_A \geq 1.4 \times 0.25 M_s + 1.7 \times 0.75 M_s$ $= 1.4 \times 0.25 \times 278 + 1.7 \times 0.75 \times 278 = 451.75 \text{ kNm}$ $M_R \geq 0.452 \text{ MNm}$	<u>Exemple de calcul</u> $M_s = 278 \text{ kNm}$ $M_0/M_s = 0.25$ <u>Quantité d'acier requise :</u> <u>1^e méthode</u> (référence [33]) <u>Calcul de M_s</u> $M_s = \frac{\mu}{b d^2 f_{bc}}$ $A_s = \left[1 - \sqrt{1 - \frac{4 \eta_a}{1.7 \phi b d^2 f'_c}} \right] \times \frac{0.85 \times f'_c b d}{f_y}$ $= \left[1 - \sqrt{1 - \frac{4 \times 0.452}{1.7 \times 0.9 \times 0.3 \times 0.5^2 \times 35}} \right] \times \frac{0.85 \times 35 \times 0.3 \times 0.83}{350} = 0.243$ $= \underline{\underline{3050 \text{ mm}^2}}$

Règles C.S.A. A23.3 1177	Règles B.A.E.L 80
$\rho = \frac{A_s}{bd} = \frac{3050}{300 \times 550} = 0.019$ $\rho_{min} = \frac{1.4}{350} = 0.004$, $B_1 = 0.85 - 0.05 \left(\frac{f'_c - 41.5}{8.9} \right) = 0.795$ $f_B = \frac{0.85 \times 0.795 \times 35}{350} \sqrt{\frac{600}{600 + 350}} = 0.0427$ $0.75 f_B = 0.032$ $\rho = 0.44 \rho_B$ $0.004 < \rho < 0.032$ O.K.	<ul style="list-style-type: none"> • <u>Calcul de μ_R</u> $\mu_R = \frac{\mu_R}{6d^2 f_{sc}} = 0.8 \alpha_R (1 - 0.4 \alpha_R) \text{ avec } \alpha_R = \frac{x_R}{d}$ $\frac{x_R}{d} = \frac{3.5}{3.5 + 1000 \epsilon_c} = \frac{3.5}{3.5 + 1000 \frac{f_e}{81 E_3}} = \frac{3.5}{3.5 + 1000 \times \frac{304}{200000}} = 0.7$ $\mu_R = 0.8 \times 0.7 (1 - 0.4 \times 0.7) = 0.403$ <p>$\mu < \mu_R = 0.403$, donc pas nécessaire d'établir une armature comprimée</p> <ul style="list-style-type: none"> • <u>Calcul de $\alpha = \frac{x}{d}$</u> $\alpha = \frac{1 - \sqrt{1 - 2\mu}}{0.8} = \frac{1 - \sqrt{1 - 2 \times 0.403}}{0.8} = 0.354$ <ul style="list-style-type: none"> • <u>bras de levier z</u> $z = d (1 - 0.4 \alpha) = 0.53 (1 - 0.4 \times 0.354) = 0.455 \text{ m}$

Règles C. S. A. A 23.3 M 77

Règles B. A. E.L 80

allongement ϵ_s de l'armature

$$\mu = 0.243 > 0.186 \Rightarrow \epsilon_s = \frac{3.5}{1000} \left(\frac{1}{\mu} - 1 \right) = \frac{3.5}{1000} \left(\frac{1}{0.243} - 1 \right)$$

$$\epsilon_s = 0.0064 \quad \epsilon_0 < \epsilon_s < 10\% \Rightarrow \epsilon_s = \delta_0 / \gamma_s = 304 / 199$$

Section d'acier

$$A = \frac{H}{Z \epsilon_s} = \frac{0.406}{0.455 \times 304} = 2.935 \times 10^{-3} \text{ m}^2$$

$$A_i = \underline{\underline{2935 \text{ mm}^2}}$$

$$A = \frac{\text{m'ethode}}{\left[1 - \sqrt{1 - \frac{4 \cdot H_s \cdot \gamma_s}{1.15 d^2 f_{c,48}}} \right] \times \frac{0.85 f_{c,48} \gamma_s b d}{f_c 86}}$$

$$A = \left[1 - \sqrt{1 - \frac{4 \times 0.406 \times 1.5}{1.7 \times 0.3 \times (0.35)^2 \times 35}} \right] \times \frac{0.85 \times 35 \times 1.15 \times 0.3 \times 0.53}{350 \times 1.5}$$

$$A_i = \underline{\underline{2932 \text{ mm}^2}} \approx A_i = 2935 \text{ mm}^2$$

Rigles C.S.A. A 23.3

Rigles B.A.E.L 80

$$f_{tg} = 0.6 + 0.06 \times 35 = 2.7 \text{ MPa}$$

$$P_{min} = \frac{0.23 \times 2.7}{350} = 0.0018$$

$$P = \frac{A}{bd} = \frac{2935}{300 \times 550} = 0.0018$$

$$0.65 \times 0.8 \times \frac{35}{350} \times \frac{1.15}{1.3} \left(\frac{700}{200+304} \right) = 0.036$$

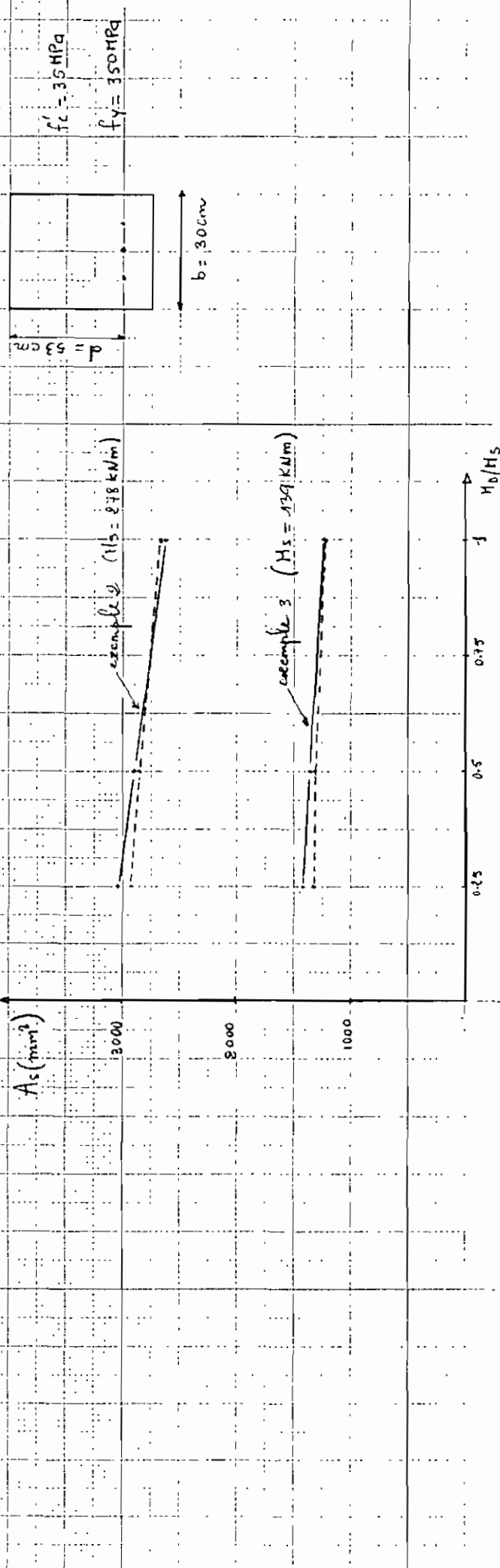
$$0.0018 < P < 0.036 \quad O.K.$$

Done

$$A_s = 3050 \text{ mm}^2$$

$$A = 2935 \text{ mm}^2$$

Règles C.S.A. A23.3.M77	Règles B.A.E.L 80																																					
<u>Résumé des résultats des exemples 2 et 3</u> <u>quantité minimale d'acier (A_{smi}) requise en fonction</u> <u>du rapport M_d/M_s pour $M_s = 278 \text{ kNm}$ et 139 kNm</u>	<u>Quantité minimale d'acier (A_{smi}) requise en fonction</u> <u>du rapport M_d/M_s pour $M_s = 278 \text{ kNm}$ et 139 kNm</u> <table border="1"> <thead> <tr> <th>M_d/M_s</th> <th>0.35</th> <th>0.5</th> <th>0.5</th> <th>1</th> </tr> </thead> <tbody> <tr> <td>$M_s = 278 \text{ (kNm)}$</td> <td>3 050</td> <td>2 890</td> <td>2 638</td> <td>2 935</td> </tr> <tr> <td>$M_s = 139 \text{ (kNm)}$</td> <td>1 427</td> <td>1 354</td> <td>1 248</td> <td>1 346</td> </tr> <tr> <td></td> <td></td> <td></td> <td></td> <td>1 310</td> </tr> <tr> <td></td> <td></td> <td></td> <td></td> <td>1 235</td> </tr> </tbody> </table> <table border="1"> <thead> <tr> <th>M_d/M_s</th> <th>0.35</th> <th>0.5</th> <th>1</th> </tr> </thead> <tbody> <tr> <td>$M_s = 278 \text{ (kNm)}$</td> <td>3 050</td> <td>2 890</td> <td>2 638</td> </tr> <tr> <td>$M_s = 139 \text{ (kNm)}$</td> <td>1 427</td> <td>1 354</td> <td>1 248</td> </tr> </tbody> </table>	M_d/M_s	0.35	0.5	0.5	1	$M_s = 278 \text{ (kNm)}$	3 050	2 890	2 638	2 935	$M_s = 139 \text{ (kNm)}$	1 427	1 354	1 248	1 346					1 310					1 235	M_d/M_s	0.35	0.5	1	$M_s = 278 \text{ (kNm)}$	3 050	2 890	2 638	$M_s = 139 \text{ (kNm)}$	1 427	1 354	1 248
M_d/M_s	0.35	0.5	0.5	1																																		
$M_s = 278 \text{ (kNm)}$	3 050	2 890	2 638	2 935																																		
$M_s = 139 \text{ (kNm)}$	1 427	1 354	1 248	1 346																																		
				1 310																																		
				1 235																																		
M_d/M_s	0.35	0.5	1																																			
$M_s = 278 \text{ (kNm)}$	3 050	2 890	2 638																																			
$M_s = 139 \text{ (kNm)}$	1 427	1 354	1 248																																			



Quantité minimale d'acier requise nécessaire pour couvrir de
moment due aux charges permanentes

RegB.C.S.A. Au.3 N°72
Rigole BAEL 80

Discussion comparative

D'après les courbes donnant la quantité d'acier requise en fonction du rapport des moments des deux charges permanentes sur le moment total de service (M_0/M_s)

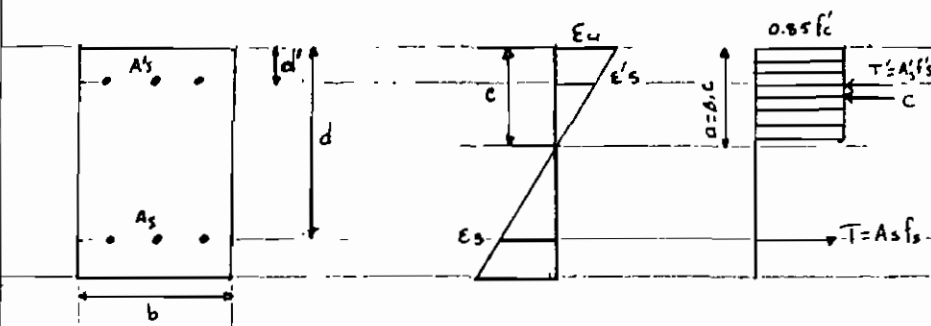
On constate en gros que les valeurs données par les deux règlements sont sensiblement égales.

Pour $M_s = 278 \text{ kNm}$ et pour des valeurs de M_0/M_s compris entre 0.25 et 5, les valeurs données par les règles C.S.A. A23.3 sont légèrement supérieures avec une différence maximale de 3.7%. Pour $M_0/M_s = 0.62$, on obtient la même quantité d'acier. Pour des rapports de $M_0/M_s > 0.62$ les valeurs des règles B.A.E.L sont légèrement supérieures avec une différence maximale de 1%

Pour $M_s = 139 \text{ kNm}$, c'est à dire diminué de moitié, les valeurs données par les règles C.S.A. A23.3 sont légèrement supérieures avec un écart maximal de 5.7% et cet écart diminue au fur et à mesure que le rapport M_0/M_s tend vers 1

Règles C.S.A. A23.3 M77

3.ee Section rectangulaire avec armature comprimée



forces internes

$$c = 0.85 f'_c ab \quad ; \text{ bras de levier } (d - \alpha_e)$$

$$T' = A'f'_s \quad ; \text{ bras de levier } (d - d')$$

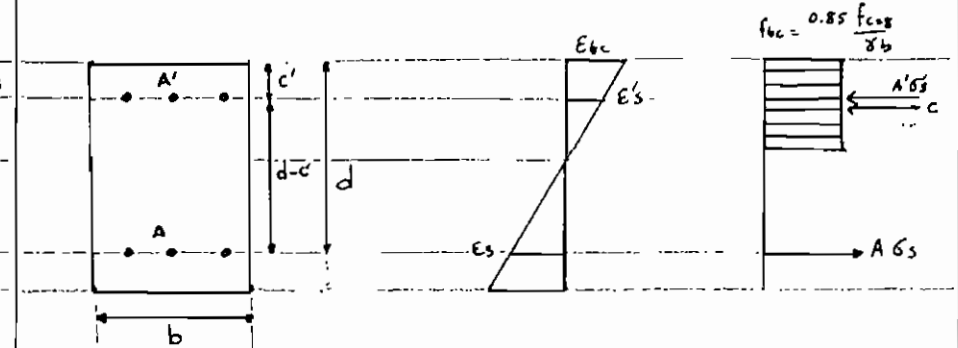
$$T = A_s f_s$$

équilibre des forces internes

$$0.85 f'_c ab + A'f'_s = A_s f_s$$

Règles B.A.E.L 80

Section rectangulaire avec armature comprimée.



forces internes

$$c = 0.85 \frac{f_{c28}}{\gamma_b} \times 0.8 \times b \quad ; \text{ bras de levier } (d - 0.4x)$$

$$A'f'_s \quad ; \text{ bras de levier } (d - c')$$

$$A_s f_s$$

équilibre des forces internes

$$0.85 \frac{f_{c28}}{\gamma_b} \times 0.8 \times b + A'f'_s = A_s f_s$$

Règles C.S.A A23.3 M77	Règles B.A.E.L 80
<p><u>Moment résistant ultime</u></p> <p><u>Principe</u>: on suppose l'éroulement de l'armature de traction et de compression avant écrasement du béton $f'_s = f_y$ et $f_s = f_y$</p>	<p><u>Moment résistant ultime</u></p> <ul style="list-style-type: none"> On suppose que l'acier est du type 1 et $\sigma'_s = f_e/\gamma_s = \sigma_s$ $M_p = \phi (A_s - A'_s) f_y (d - a/2) + A'_s f_y (d - d')$ $M_{p1} = \phi (A_s - A'_s) f_y (d - a/2) = 0.85 f'_c a b (d - a/2)$ <p><u>Moment équilibré par le béton</u></p> $M_R = (A - A') f_e/\gamma_s z_R = 0.8 \frac{z_R}{d} (1 - 0.4 \frac{z_R}{d}) b d' f'_c$ <p>avec $z_R = (d - 0.4 z_R)$</p> $\frac{z_R}{d} = \frac{3.5}{3.5 + 1000 E_\alpha}$ <p><u>Section des armatures</u></p> <p><u>Armature comprimée</u></p> $A'_s = \frac{M - M_{p1}}{\phi (d - d') f_y}$ <p><u>Armature comprimée</u></p> $A' = \frac{M - M_R}{(d - c') f_e/\gamma_s}$

Règles C.S.A. A23.3 M77

Armature tendue

$$A_s = \frac{M_r}{\phi(d-a/2)f_y} + A'_s$$

. Conditions pour que l'acier A's s'écoule

$$A's \text{ s'écoule si } \frac{d'}{d} \leq \frac{3-1000\epsilon_y}{3+1000\epsilon_y} \text{ ou } c \geq \frac{600d'}{600-f_y}$$

. Rupture ductile mais A's ne s'écoule pas

A's ne s'écoule pas si

$$\frac{d'}{d} > \frac{3-1000\epsilon_y}{3+1000\epsilon_y} \text{ ou } c < \frac{600d'}{600-f_y}$$

alors le moment résistant

$$M_r = \phi (A_s f_y - A'_s f'_s) (d - a/2) + A'_s f'_s (d - d')$$

$$\text{avec } f'_s = f_y \frac{\epsilon'_s}{\epsilon_y}$$

Règles B.A.E.L 80

Armature tendue

$$A = \frac{M_r}{(d-0.4x_R)f_c/\gamma_s} + A'$$

. Conditions pour que A' s'écoule

$$A' \text{ s'écoule si } \frac{c'}{d} \leq \frac{3.5-1000\epsilon_e}{3.5+1000\epsilon_e} \text{ ou } x \geq \frac{700c'}{700-f_c/\gamma_s}$$

. Rupture ductile mais A' ne s'écoule pas

A' ne s'écoule pas si

$$\frac{c'}{d} > \frac{3.5-1000\epsilon_e}{3.5+1000\epsilon_e} \text{ ou } x < \frac{700c'}{700-f_c/\gamma_s}$$

alors le moment résistant

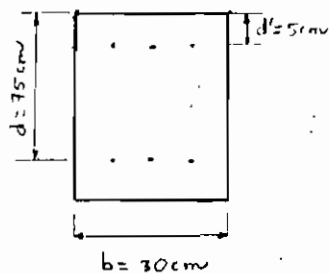
$$M = M_r + A'_s G'_s (d - c')$$

$$\text{avec } G'_s = \frac{f_c}{\gamma_s} \frac{\epsilon'_s}{\epsilon_s}$$

Exemples

Design d'une section rectangulaire
avec armature de compression

exemple 4



Calculer la quantité d'acier nécessaire
pour cette section de poutre soumise
à un moment de service $M_s = 666 \text{ kNm}$

Données

$$f_y = 400 \text{ MPa}$$

$$f'_c = 25 \text{ MPa}$$

On supposera les pourcentages de moment
dus aux charges permanentes suivantes:

0,25 ; 0,5 ; 1,00

exemple 5

Même problème que l'exemple 4 avec $M_s = 1332 \text{ kNm}$

Règles C.S.A. A23.3 M17

Exemple de calcul

$$M_s = 666 \text{ kNm}$$

$$M_d/M_s = 0.25$$

$$\text{Le moment de design } H = 1.4 \times M_d + 1.7 M_L$$

$$= 1.4 \times 0.25 \times 666 + 1.7 \times 0.75 \times 666 = 1082 \text{ kNm}$$

Calcul d'une partie de A_s qui agit avec le béton comprimé

$$f_{max} = 0.75 f_g = 0.75 \times 0.85 \times \frac{45}{400} \times \left(\frac{600}{600+400} \right) = 0.020$$

$$A_s - A'_s = f_{max} b d = 0.020 \times 0.3 \times 0.75 = 4.5 \times 10^{-3} \text{ m}^2$$

$$A_s - A'_s = 4500 \text{ mm}^2$$

le côté "a" du rectangle de Whitney

$$= \frac{A_s - A'_s}{4500 \times 10^{-6}} = \frac{4.5 \times 10^{-3}}{0.85 \times 3.5 \times 0.3} = 0.28 \text{ m} = 28 \text{ cm}$$

Moment équilibré par le béton comprimé

$$M_{r_1} = \phi(A_s - A'_s)(d - \frac{a}{2}) f_y = 0.9 \times 4.5 \times 10^{-3} \times (0.75 - \frac{0.28}{2}) \times 400$$

Règles B.A.E.1 80

Exemple de calcul

$$M_s = 666 \text{ kNm}$$

$$M_c/M_s = 0.25$$

$$\begin{aligned} \text{Le moment de design } H &= 1.35 M_c + 1.5 M_q \\ &= 1.35 \times 0.25 \times 666 + 1.5 \times 0.75 \times 666 = 974 \text{ kNm} \end{aligned}$$

Moment équilibré par le béton

$$M_R = 0.8 \times \frac{x_R}{d} (1 - 0.4 \frac{x_R}{d}) b d^2 f_{bc}$$

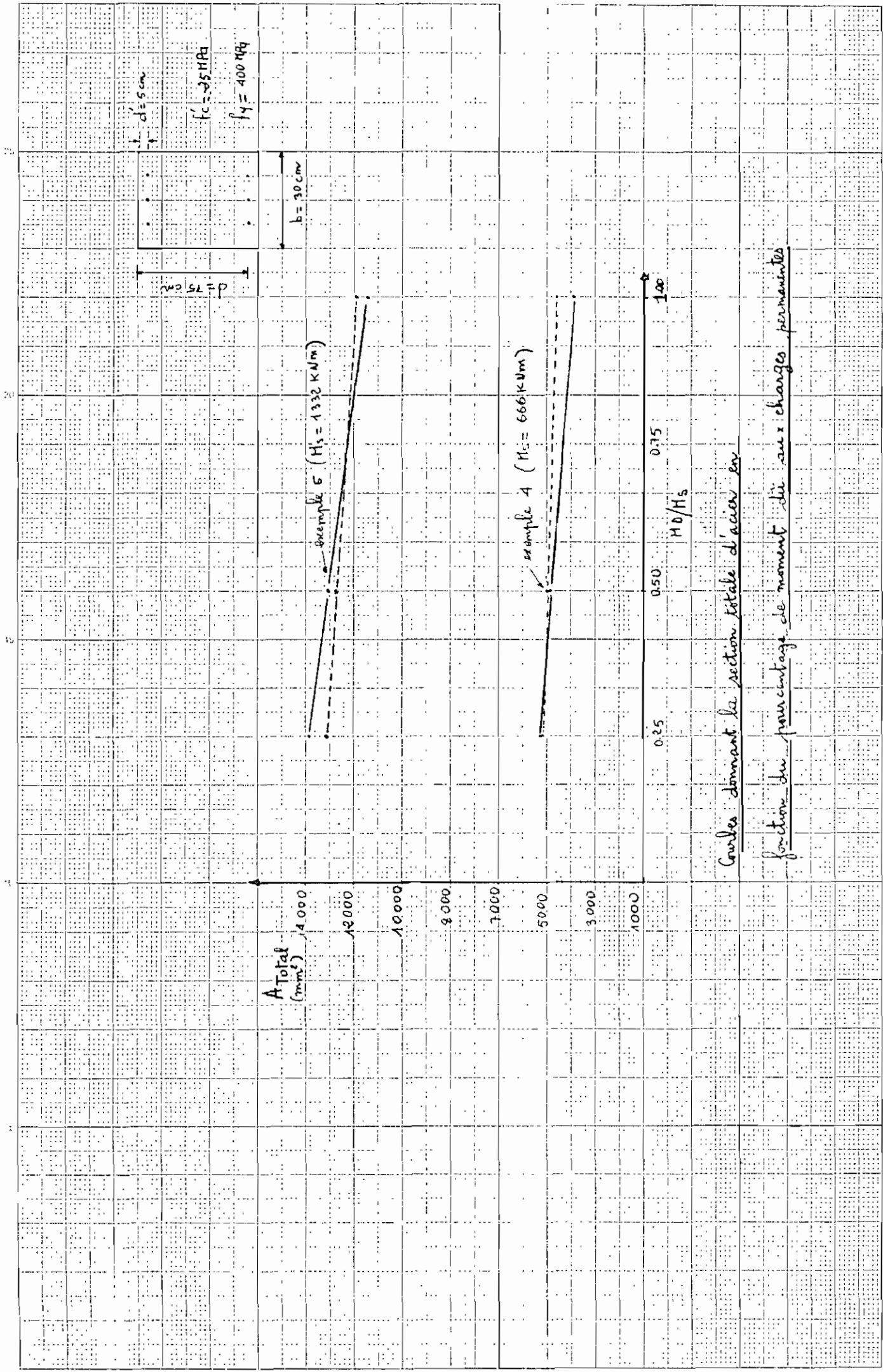
$$\frac{x_R}{d} = \frac{3.5}{3.5 + 1000 \times \frac{400}{4.5 \times 200 \times 1000}} = 0.668 \Rightarrow x_R = 0.668 \times 0.75 = 0.5 \text{ m}$$

$$f_{bc} = \frac{0.85 f_{c'e}}{x_R} = \frac{0.85 \times 25}{0.5} = 14.2 \text{ MPa} = 14200 \text{ kN/m}^2$$

$$M_R = 0.8 \times 0.668 \left(1 - 0.4 \times 0.668 \right) 100 \times (0.75)^2 \times 14200 = 940 \text{ kNm}$$

Règles C.S.A. A.23.3 M ₁₇	Règles B.A.E.L 80
$M_{R1} = \underline{\underline{988 \text{ kNm}}}$ <u>Partie de As qui agit avec As</u> $M_{Re} = M - M_{R1} = 1082 \text{ kNm} - 988 \text{ kNm} = 94 \text{ kNm}$ • l'acier de compression s'éconde sur $c > \frac{600d'}{600 - f_y} = \frac{600 \times 5 \text{ cm}}{600 - 400} = 15 \text{ cm}$ $c = \frac{a}{\beta_1} : \quad \beta_1 = 0.85 \text{ car } f'_c = 25 \text{ MPa} < 27.5 \text{ MPa}$ $a = \frac{98 \text{ cm}}{0.85} = 33 \text{ cm}$ $c = 33 \text{ cm} > 15 \text{ cm} \text{ donc As s'éconde.}$ $M_{Re} = \phi A'_s f_y (d - d') = 94 \text{ kNm}$ $\Rightarrow A'_s = \frac{M_{R2}}{\phi f_y (d - d')} = \frac{0.94 (\text{MNm})}{0.9 \times 400 (0.75 - 0.05) \frac{\text{MN}}{\text{mm}}} = \underline{\underline{0.370 \text{ mm}^2}}$ $A'_s = \frac{370 \text{ mm}^2}{A_s = 4500 \text{ mm}^2 + 370 \text{ mm}^2} = \underline{\underline{4970 \text{ mm}^2}}$	$M_R = \underline{\underline{940 \text{ kNm}}} < M = 974 \text{ kNm} \text{ donc la section doit comporter une armature comprimée}$ • l'acier de compression s'éconde sur $\frac{c'}{d} \leq \frac{3.5 - 1000 \epsilon_c}{3.5 + 1000 \epsilon_c} = \frac{3.5 - 1000 \times \frac{100}{1.15 \times 200000}}{3.5 + 1000 \times \frac{400}{1.15 \times 200000}} = 0.936$ $\frac{c'}{d} = \frac{5}{75} = 0.066 < 0.336 \text{ donc A' s'éconde } \delta'_s = \underline{\underline{\delta/s}}$ <u>dans</u> $A'_s = \frac{M - M_R}{(d - c') \delta/s} = \frac{974 - 940}{(0.75 - 0.05) \frac{400 \times 10^3}{75}} = \underline{\underline{1.4 \times 10^{-4} \text{ m}^2}}$ $A'_s = \frac{A'_s}{A_s} = \frac{1.4 \times 10^{-4}}{5050 \text{ mm}^2} = \underline{\underline{2.77 \times 10^{-8} \text{ m}^2}}$

Règles C.S.A. A23.3 M77		Règles B.I.A.E.L 80																																	
Résultats des exemples 4 et 5																																			
$M_s = 666 \text{ KNm}$		$M_s = 666 \text{ KNm}$																																	
<table border="1"> <thead> <tr> <th>M_0/M_s</th><th>0.25</th><th>0.5</th><th>1</th></tr> </thead> <tbody> <tr> <td>A's</td><td>310</td><td>176</td><td>0</td></tr> <tr> <td>A's</td><td>4840</td><td>4676</td><td>3938</td></tr> <tr> <td>A_{Total}</td><td>5240</td><td>4852</td><td>3938</td></tr> </tbody> </table>		M_0/M_s	0.25	0.5	1	A's	310	176	0	A's	4840	4676	3938	A _{Total}	5240	4852	3938	<table border="1"> <thead> <tr> <th>M_0/M_s</th><th>0.25</th><th>0.5</th><th>1</th></tr> </thead> <tbody> <tr> <td>A'</td><td>140</td><td>41</td><td>0</td></tr> <tr> <td>A</td><td>5050</td><td>4946</td><td>4603</td></tr> <tr> <td>A_{Total}</td><td>5190</td><td>4987</td><td>4603</td></tr> </tbody> </table>		M_0/M_s	0.25	0.5	1	A'	140	41	0	A	5050	4946	4603	A _{Total}	5190	4987	4603
M_0/M_s	0.25	0.5	1																																
A's	310	176	0																																
A's	4840	4676	3938																																
A _{Total}	5240	4852	3938																																
M_0/M_s	0.25	0.5	1																																
A'	140	41	0																																
A	5050	4946	4603																																
A _{Total}	5190	4987	4603																																
$M_s = 1332 \text{ KNm}$		$M_s = 1332 \text{ KNm}$																																	
<table border="1"> <thead> <tr> <th>M_0/M_s</th><th>0.25</th><th>0.5</th><th>1</th></tr> </thead> <tbody> <tr> <td>A's</td><td>4667</td><td>4272</td><td>3449</td></tr> <tr> <td>A's</td><td>9167</td><td>8772</td><td>7979</td></tr> <tr> <td>A_{Total}</td><td>13834</td><td>13044</td><td>11458</td></tr> </tbody> </table>		M_0/M_s	0.25	0.5	1	A's	4667	4272	3449	A's	9167	8772	7979	A _{Total}	13834	13044	11458	<table border="1"> <thead> <tr> <th>M_0/M_s</th><th>0.25</th><th>0.5</th><th>1</th></tr> </thead> <tbody> <tr> <td>A'</td><td>4140</td><td>3933</td><td>3523</td></tr> <tr> <td>A</td><td>9045</td><td>8838</td><td>8428</td></tr> <tr> <td>A_{Total}</td><td>13185</td><td>12771</td><td>11951</td></tr> </tbody> </table>		M_0/M_s	0.25	0.5	1	A'	4140	3933	3523	A	9045	8838	8428	A _{Total}	13185	12771	11951
M_0/M_s	0.25	0.5	1																																
A's	4667	4272	3449																																
A's	9167	8772	7979																																
A _{Total}	13834	13044	11458																																
M_0/M_s	0.25	0.5	1																																
A'	4140	3933	3523																																
A	9045	8838	8428																																
A _{Total}	13185	12771	11951																																



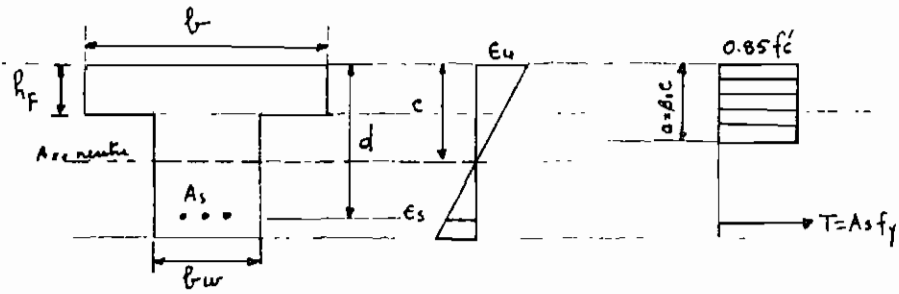
Discussion comparativa

On remarque à partir de cet exemple, que les deux règlements ne présentent pas de différence notable du point de vue quantité totale d'acier. D'après la courbe donnant la section totale d'acier en fonction du pourcentage de moment dû aux charges permanentes, on remarque que pour $M_s = 666 \text{ kNm}$ et pour des valeurs de M_0/M_s compris entre 0.25 et 5, les sections totales d'acier obtenues sont à peu près égales. Pour des rapports compris entre 0.5 et 1 les règles B.A.E.L 80 sont légèrement supérieures et l'écart augmente au fur et à mesure que M_0/M_s s'approche de 1 avec un écart maximal de 16.8%. Pour $M_s = 1332 \text{ kNm}$, les règles C.S.A. A_{23.3} sont légèrement supérieures avec un écart maximal de 4.7% et cet écart diminue jusqu'au rapport de $M_0/M_s = 0.75$ où les sections d'acier obtenues sont égales. Pour des rapports supérieurs à 0.75 les valeurs des règles B.A.E.L sont légèrement supérieures avec une différence maximale de 4%

Règles C.S.A. A23.3M77

3.3 Section en T

Règles B.A.E.L 80

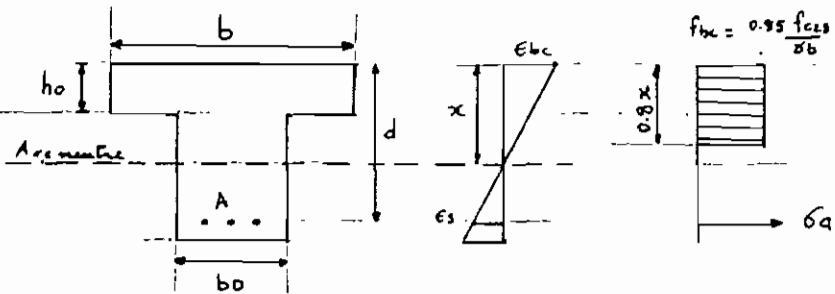


Condition pour avoir une zone comprimée en forme de T

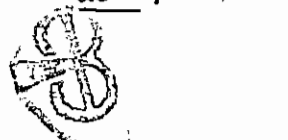
$$\text{A la limite } a = h_f = \frac{A_s f_y}{0.85 f'_c b}$$

donc

$$h_f < \frac{A_s f_y}{0.85 f'_c b} \quad \text{ou} \quad c > \frac{h_f}{\beta_1}$$



Condition pour avoir une zone comprimée en forme de T

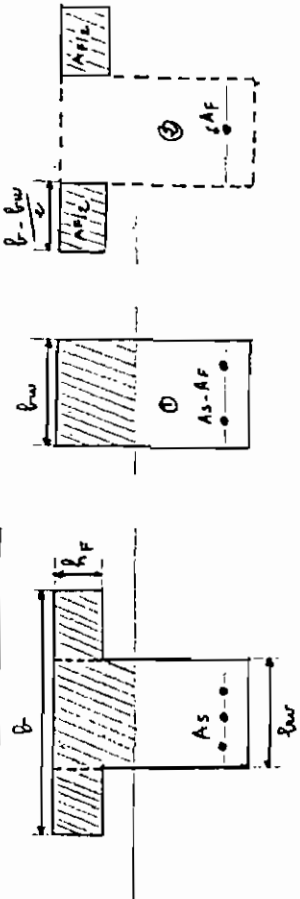


$$x > \frac{h_o}{0.8}$$

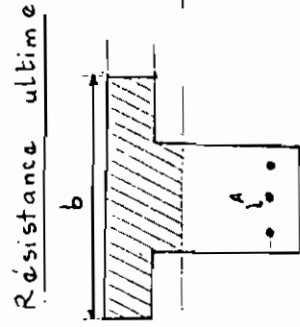
code pointe
pointe
code pointe
code pointe

Règles C.S.A. A23.3 M17

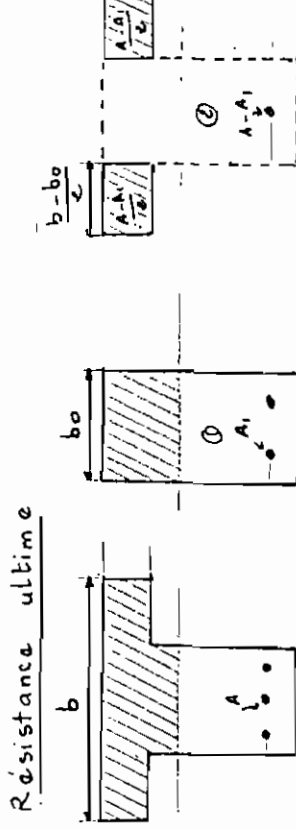
Résistance ultime



Résistance ultime



Règles B.A.E.I. 80



A_F représente l'aire d'acier offrant la même résistance que la semelle de part et d'autre de la portion rectangulaire lorsque la semelle subit une compression à 0.85 f_c d'où

$$A_F = \frac{0.85 f_c (b - b_w) h_F}{f_y / 83}$$

- I dem pour $A - A_1$ pour une compression à 0.85 f_c

$$A - A_1 = \frac{0.85 f_{ck} \times (b - b_o) h_o}{f_c / 83}$$

Règles C.S.A. A23.3 M77

Équilibre des forces internes

$$c_1 + c_2 = T_1 + T_2$$

$$0.85 f'_c b_w a \times A_F f_y = A_s f_y$$

Moment résistant

$$M_R = \phi [(A_s - A_F) f_y (d - a/2) + A_F f_y (d - h_F/2)]$$

Pourcentage d'acier à respecter pour le design

$$\frac{1.4}{f_y} \leq \rho_w \leq 0.75 (\rho_B + \rho_F)$$

$$\text{avec } \rho_w = \frac{A_s}{b_w d} \quad \rho_F = \frac{A_F}{b_w d}$$

Règles B.A.E.L 80

Équilibre des forces internes

$$c_1 + c_2 = T_1 + T_2$$

$$f_{bc} \times b_0 \times 0.8x + (A - A_1) f_c / \gamma_s = A f_c / \gamma_s$$

Moment résistant

$$M = f_{bc} b_0 0.8x (d - 0.4x) + f_{bc} (b - b_0) h_0 (d - h_0/2)$$

$$= A_1 f_c / \gamma_s (d - 0.4x) + (A - A_1) f_c / \gamma_s (d - h_0/2)$$

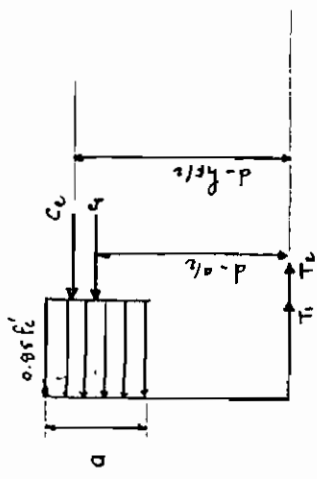
Pourcentage d'acier à respecter

$$\frac{0.23 f_{t28}}{f_c} \leq \rho$$

Règles C.S.A. A23.3 M17

Règles B.A.E.L 80

Forces internes



Par ①

$$C_1 = 0.85f'_c \text{ lue } a \quad ; \text{ bras de levier } d - a/2$$

$$T_1 = (A_s - A_f) f_y$$

Par ②

$$C_2 = A_f f_y \quad ; \text{ bras de levier } d - h_{f/2}$$

$$T_2 = A_f f_y$$

Par ①

$$C_1 = 0.85 \times b_0 f_{bc} \quad ; \text{ bras de levier } d - 0.4x$$

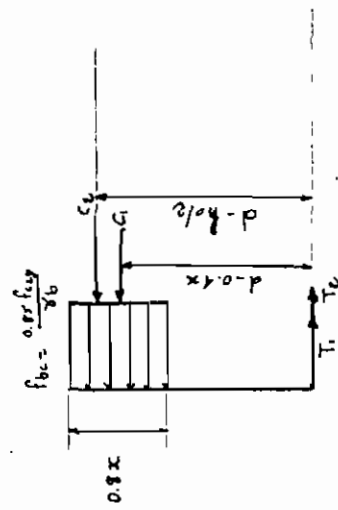
$$T_1 = A_f f_c / \gamma_s$$

Par ②

$$C_2 = (A - A_f) f_c / \gamma_s = (b - b_0) h_0 f_{bc} \quad ; \text{ bras de levier } d - h_0/2$$

$$T_2 = (A - A_f) f_c / \gamma_s$$

Forces internes



Par ①

$$C_1 = 0.85f'_c \text{ lue } a \quad ; \text{ bras de levier } d - a/2$$

$$T_1 = A_f f_c / \gamma_s$$

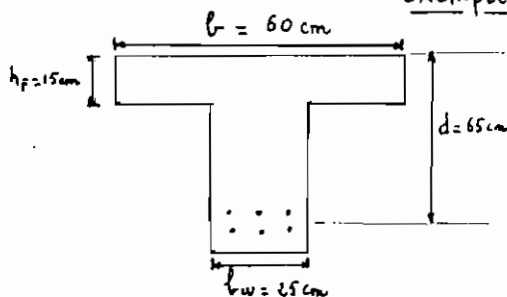
Par ②

$$C_2 = (A - A_f) f_c / \gamma_s = (b - b_0) h_0 f_{bc} \quad ; \text{ bras de levier } d - h_0/2$$

$$T_2 = (A - A_f) f_c / \gamma_s$$

Exemples: Analyse d'une section
en Té

exemple 6



$$A_s = 6 \# 30 \Rightarrow 1800 \text{ mm}^2$$

$$f'_c = 20 \text{ MPa}$$

$$f_y = 400 \text{ MPa}$$

$$\gamma_s = 1.15$$

$$\gamma_b = 1.5$$

Déterminer le moment de service sécuritaire que l'on pourra appliquer sur cette poutre

si 1°/ 25% du moment de service est dû aux charges permanentes

2°/ 50% " " "

3°/ 100% " " "

exemple 7: Même problème avec $A_s = 5 \# 30 \Rightarrow 1500 \text{ mm}^2$

exemple 8 " " " $A_s = 3 \# 30 \Rightarrow 900 \text{ mm}^2$

(les résultats apparaissent au tableau)

Règles C. S. A. ACI 318 M 17	Règles B.A.E.L 80
<p><u>Exemple de calcul</u></p> <p>$A_s = 6 \# 30 \Rightarrow 4200 \text{ mm}^2$</p> <p>$\eta_0/\eta_s = 0.25$</p> <p><u>Design d'une section rectangulaire ou en T</u></p> $\frac{h_F}{h} = \frac{A_s f_y}{0.85 f'_c b} = \frac{4.2 \times 10^{-3} \times 400}{0.85 \times 20 \times 0.60} = 0.165 \text{ m}$ <p>$h_F = 0.15 \text{ m} < 0.165 \text{ m} \Rightarrow$ section comprimée en forme de T</p> <p><u>Calcul des pourcentages d'acier</u></p> $\rho_w = \frac{A_s}{f_{wd}} = \frac{4.2 \times 10^{-3}}{0.25 \times 0.65} = 0.0258$ $A_F = \frac{0.85 f'_c (b - b_w) h_F}{b y} = \frac{0.85 \times 20 \times (0.6 - 0.25) \times 0.15}{400} =$ $A_F = 2.23 \times 10^{-3} \text{ m}^2$ $\rho_F = \frac{A_F}{f_{wd}} = \frac{2.23 \times 10^{-3}}{0.25 \times 0.65} = 0.0137$	<p><u>Exemple de calcul</u></p> <p>$A = 6 \# 30 \Rightarrow 4200 \text{ mm}^2$</p> <p>$\eta_0/\eta_s = 0.25$</p> <p><u>Design en section rectangulaire ou en T</u></p> $\frac{h_0}{0.8} \leq x = \frac{A_f \eta / \eta_s}{\frac{x b}{y b}} = \frac{4.2 \times 10^{-3} \times \frac{400}{1.5}}{0.85 f'_c g_b \times 0.8} = 0.27 \text{ m}$ <p>$\frac{h_0}{0.8} = \frac{0.15}{0.8} = 0.19 \text{ m} < 0.27 \text{ m} \Rightarrow$ section comprimée en forme de T</p> $\rho = \frac{A}{b d} = \frac{4.2 \times 10^{-3}}{0.25 \times 0.65} = 0.0258$

$$\rho_g = \frac{0.85 \delta_1 f'_c}{f_y} \left(\frac{600}{600 + 400} \right) = \frac{0.85 \times 0.85 \times 20}{400} \times \left(\frac{600}{600 + 400} \right) = 0.00103$$

$$\rho_g = 0.0217$$

$$0.75(\rho_g + \rho_f) = 0.75 \left(0.0217 + 0.0037 \right) = 0.0266$$

$$\rho_{min} = \frac{1.4}{f_y} = \frac{1.4}{400} = 0.0035$$

$0.0035 < 0.0258 < 0.0266$ o.K. rupture

ductile

Calcul de M_R

$$M_R = \phi \left[(A_s - A_f) f_y (d - a_{1/2}) + A_f f_y (d - a_{F/2}) \right]$$

$$\alpha = \frac{(A_s - A_f) f_y}{0.85 f'_c g_w} = \frac{(4.2 - 2.23) \times 10^3 \times 400}{0.85 \times 20 \times 0.25} = 0.185 m$$

$$\therefore a = 0.185 m > 0.15 m \quad o.K.$$

$$\rho_{min} = \frac{0.23 (0.6 + 0.06 \times 20)}{400} = 0.00103$$

o.K

$$0.00103 < 0.0258$$

Calcul du moment résistant de la section

$$M = 0.8 \pi b_0 f_{bc} (d - 0.4x) + f_{sc} (b - b_0) h_0 (d - h_{F/2})$$

$$f_{bc} = \frac{0.85 \times 20}{1.5} = 11.33 \text{ MPa}$$

calcul de x

$$x = \frac{A_1 f_{sc} s_5}{0.8 \times b_0 f_{sc}} \quad (\text{d'après l'équilibre des forces internes})$$

$$A_1 - A_1 = \frac{(b - b_0) h_0 f_{bc}}{f_e / s_5} = \frac{(0.6 - 0.25) \times 0.15 \times 11.33}{400 / 1.15} =$$

$$A_1 = 1.71 \times 10^{-3} \text{ m}^2 \Rightarrow$$

$$A_1 = \left(4.2 \times 10^{-3} - 1.71 \times 10^{-3} \right) \text{ m}^2 = 2.49 \times 10^{-3} \text{ m}^2$$

$$x = \frac{2.49 \times 10^{-3} \times \frac{400}{1.15}}{0.8 \times 0.25 \times 11.33} = 0.38 \text{ m} > 1.25 h_0 = 0.19 \text{ m} \quad o.K.$$

Râglas C. S. A. A 23.3 M77

Râglas B. A. E. L 80

$$M_R = 0.9 \left[(1.2 - 2.25) \times 10^{-3} \times 400 (0.65 - 0.185) + 2.25 \times 10^{-3} \times 400 (0.65 - 0.15/2) \right] = 0.857 \text{ MNm}$$

$$M_R = \underline{\underline{857}} \text{ kNm}$$

Le moment requis \leq moment résistant

$$\Leftrightarrow 1.4 M_D + 1.7 M_L \leq 857 \text{ kNm}$$

$$1.4 \times 0.25 M_S + 1.7 \times 0.75 M_S \leq 857 \text{ kNm} \Leftrightarrow$$

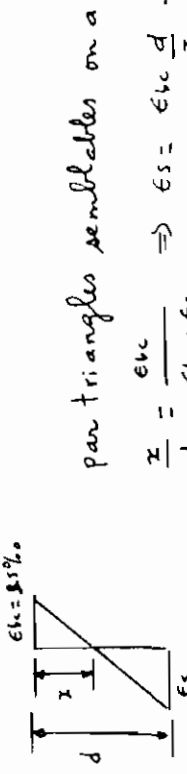
$$M_S = 857 \text{ kNm}$$

$$M_S \leq \frac{857}{0.35+1.275} = \underline{\underline{527}} \text{ kNm}$$

$$M = \left[0.8 \times 0.38 \times 0.25 \times 11.33 (0.65 - 0.4 \times 0.38) + 11.33 (0.60 - 0.25) \times 0.15 (0.65 - 0.15/2) \right] = 0.772 \text{ MNm}$$

$$M = \underline{\underline{772}} \text{ kNm}$$

Vérification de ϵ_s



par triangles semblables on a

$$\frac{x}{d} = \frac{\epsilon_{bc}}{\epsilon_{bc} + \epsilon_s} \Rightarrow \epsilon_s = \epsilon_{bc} \frac{d}{x} - \epsilon_{bc}$$

$$\epsilon_s = \frac{3.5}{1000} \times \frac{65}{38} - \frac{3.5}{1000} = 2.5\%$$

$$\epsilon_s = 2.5\% < 10\% \quad O.K.$$

Moment de service maximal
 $1.35 \times 0.25 M_S + 1.5 \times 0.15 M_S \leq 772 \text{ kNm} \Rightarrow M_S \leq \underline{\underline{527}} \text{ kNm}$

Règles C.S.A. A23.3 M77

Tableau donnant le moment de service maximal M_s (kNm) en fonction de M_0/η_s et du pourcentage d'acier pour $f'_c = 20$ MPa

M_0/η_s	$A_s = 4200 \text{ mm}^2$ $\rho = 0.72 (\rho_g + \rho_e)$	$A_s = 3500 \text{ mm}^2$ $\rho = 0.61 (\rho_g + \rho_e)$	$A_s = 2100 \text{ mm}^2$ $\rho = 0.33 \rho_g$
0.25	527	451	283
0.5	553	473	297
1	612	523	329

$$f'_c = 40 \text{ MPa}$$

M_0/η_s	$A_s = 4200 \text{ mm}^2$ $\rho = 0.66 \rho_g$	$A_s = 3500 \text{ mm}^2$ $\rho = 0.55 \rho_g$	$A_s = 2100 \text{ mm}^2$ $\rho = 0.33 \rho_g$
0.25	566	474	293
0.5	594	500	307
1	654	554	340

Règles B.A.E.L 80

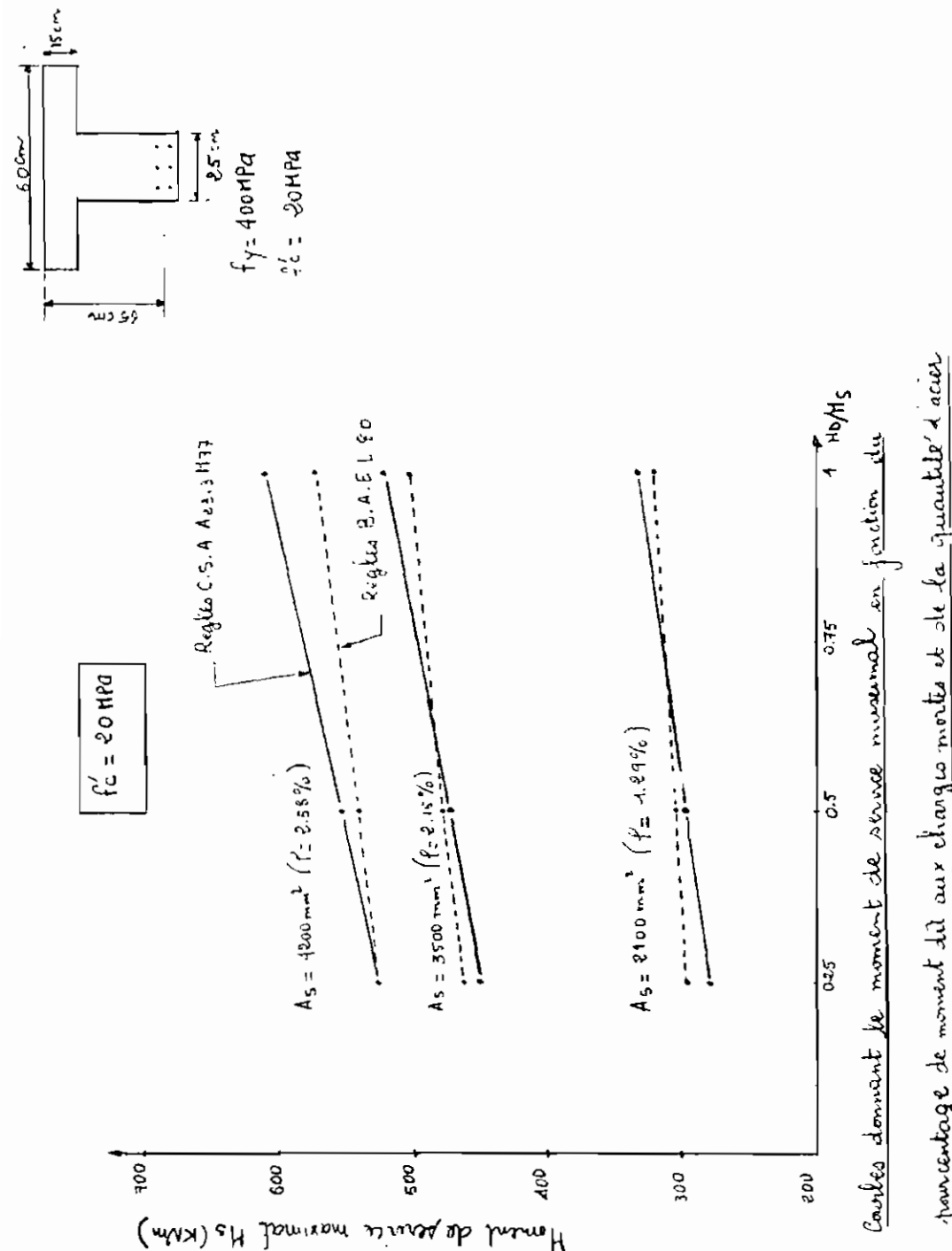
Tableau donnant le moment de service maximal M_s (kNm) en fonction de M_0/η_s et du pourcentage d'acier pour $f'_c = 20$ et 40 MPa

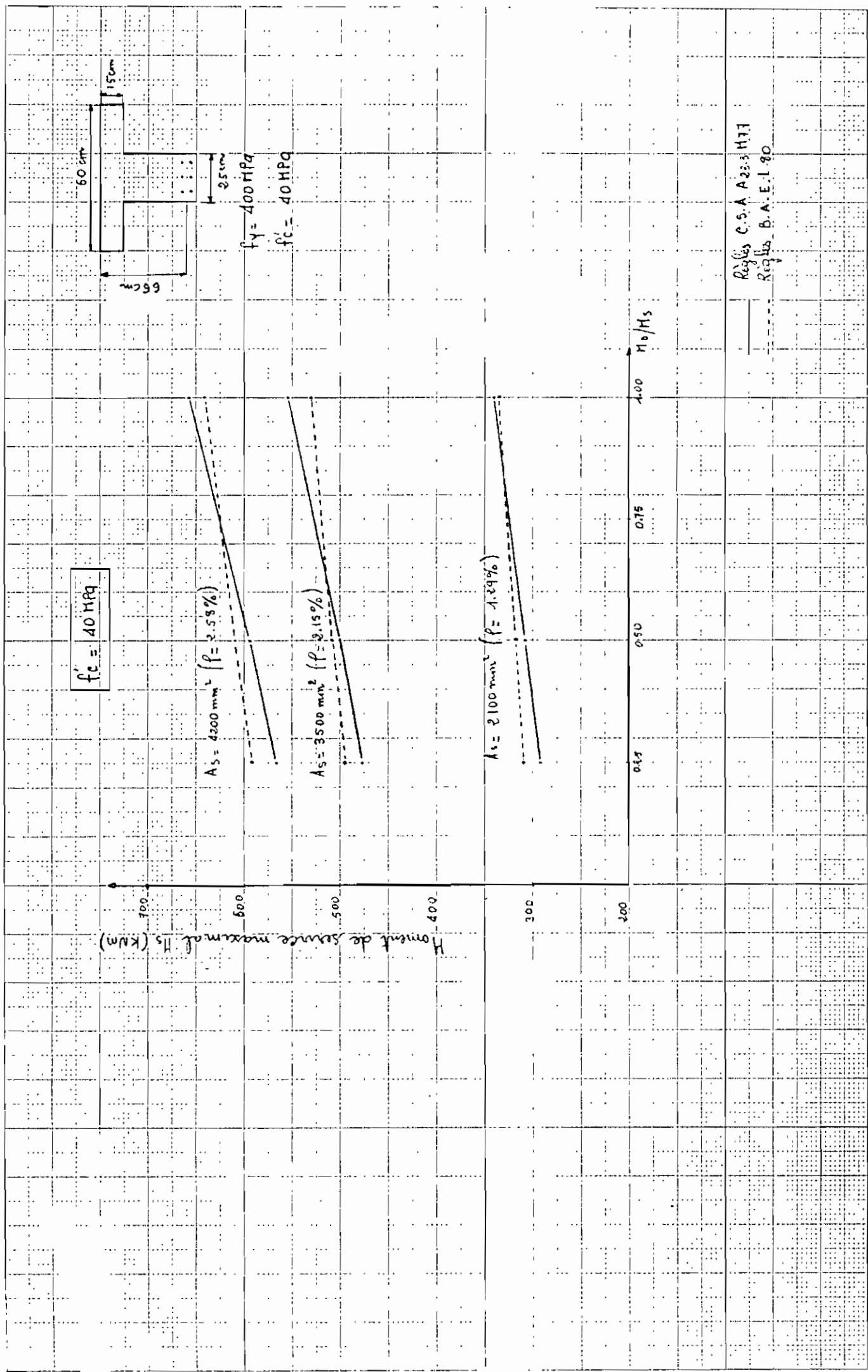
$$f'_{c3} = 20 \text{ MPa}$$

M_0/η_s	$A = 4200 \text{ mm}^2$ $\rho = 0.0258$	$A = 3500 \text{ mm}^2$ $\rho = 0.0215$	$A = 2100 \text{ mm}^2$ $\rho = 0.0129$
0.25	527	454	297
0.5	542	477	305
1	572	504	322

$$f'_{c3} = 40 \text{ MPa}$$

M_0/η_s	$A = 4200 \text{ mm}^2$ $\rho = 0.0258$	$A = 3500 \text{ mm}^2$ $\rho = 0.0215$	$A = 2100 \text{ mm}^2$ $\rho = 0.0129$
0.25	592	495	310
0.5	609	509	318
1	643	537	336





Discussion

Nous avons aussi étudié l'influence de la capacité du béton sur les résultats de l'analyse de la section en Té en employant un béton de 20 MPa et de 40 MPa.

Pour le béton de 20 MPa, on remarque d'après les courbes donnant le moment de service maximal que l'on peut appliquer sur la section en fonction du pourcentage de moment dû aux charges permanentes (M_0/M_s) et du pourcentage d'acier ($f = A_s/A_{bd}$ pour les règles C.S.A A23.3 ou A/A_{bd} pour les règles B.A.E.L), on remarque que plus le pourcentage d'acier est faible, plus l'écart entre les deux règlements devient moins significatif.

Par exemple pour $f = 1.29\%$ et pour un pourcentage de moment dû aux charges permanentes compris entre 0.25 et 0.8 les valeurs données par les règles B.A.E.L 80 sont légèrement supérieures avec un écart maximal à $M_0/M_s = 0.25$ de 5% par rapport aux règles C.S.A. A23.3 N77. Pour $M_0/M_s > 0.80$ les deux règlements donnent sensiblement les mêmes valeurs.

Pour $f = 2.15\%$ et pour M_0/M_s compris entre 0.25 et 0.6, les valeurs données par les règles B.A.E.L 80 sont légèrement supérieures avec un écart maximal à 0.25 de 2.8% et pour $M_0/M_s > 0.6$ les valeurs données par les règles C.S.A A23.3 sont supérieures et cet écart augmente au fur et à mesure que M_0/M_s augmente cet écart est maximal à un rapport de 1 soit une différence de 7%.

Pour $f = 2.6\%$ et pour $0.25 \leq M_D/M_S < 1$ les valeurs données par les règles C.S.A. A 23.3 1977 sont supérieures et cet écart augmente au fur et à mesure que le rapport M_D/M_S augmente. Cet écart devient maximal à un rapport égal à 1 avec une différence de 7%.

Pour le béton de 40 MPa, on remarque que pour $f = 1.29\%$, les deux règlements sont comparables pour des rapports de $M_D/M_S > 0.50$. Pour $0.25 \leq M_D/M_S \leq 0.50$ les résultats des règles B.A.E.L sont supérieurs avec un écart maximal à $M_D/M_S = 0.25$ de 6%.

Pour $f = 2.15\%$ et pour des rapports de $\frac{M_D}{M_S}$ compris entre 0.25 et 0.62 les règles B.A.E.L 80 donnent des valeurs supérieures avec un écart maximal à $\frac{M_D}{M_S} = 0.25$ de 3.6%.

Pour $f = 2.6\%$, les règles B.A.E.L donnent des valeurs supérieures pour M_D/M_S compris entre 0.25 et 0.75 avec une différence de 4.5% à $M_D/M_S = 0.25$. Si $\frac{M_D}{M_S} > 0.75$ les résultats sont presque comparables.

Donc en gros, dans le domaine usuel c'est à dire pour des rapports de $\frac{M_D}{M_S}$ compris entre 0.5 et 0.75 les deux règlements ne présentent pas de différence significative du point de vue résistance pour la section étudiée.

CHAPITRE 4

CISAILLEMENT

Règles C.S.A Ass.3 M77

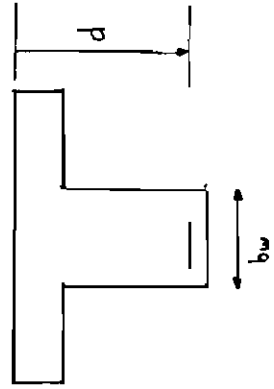
Règles B.A.E.L 80.

4.4 Hypothèses

- 1°. La rupture par fissaillement correspond à f_y dans l'acier
 - idem
- 2°. La fissure se développe à 45°
 - idem
- 3°. La projection horizontale d'une fissure est égale à "d", distance entre la fibre la plus compressée et le centre de gravité de l'armature tendue.
 - idem
- 4°. A la rupture le béton reprend une contrainte σ_c qui est la contrainte de cisaillement admissible subie par le béton

Règles C.S.A. A23.3 H77

Contrainte nominale 4.2 principales formules



$$\sigma_{nc} = \frac{V_u}{\phi b_w d} \quad (\text{A.3.1.1})$$

ϕ = facteur de performance = 0.85

Contrainte maximale

$$\sigma_u - \sigma_c \leq 0.67 \sqrt{f'_c}$$

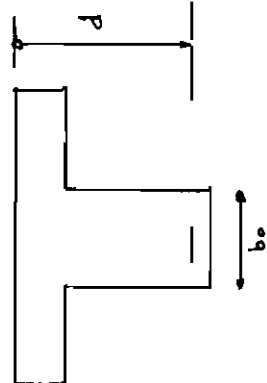
$$\text{ou } \sigma_u \leq 0.84 \sqrt{f'_c}$$

$$\sigma_c = 0.12 \sqrt{f'_c} \quad \text{conservatrice} \quad (\text{A.5.1})$$

$$\sigma_u = 0.16 \sqrt{f'_c} + 1.7 P_w \frac{V_u d}{M_{uw}} \leq 0.3 \sqrt{f'_c} \text{ avec } \frac{V_u d}{M_{uw}} \leq 1 \quad (\text{A.5.3})$$

Règles B.A.E.L 80

contrainte nominale



$$\tau_u = \frac{V_u}{b_w d} \quad (\text{A.5.1.1})$$

Contrainte maximale $\bar{\sigma}_u$

Dans le cas où la fioruration est au fil prévisible

$$\bar{\sigma}_u = \min(0.10 f'_{ce} ; 3 \text{ MPa})$$

- Dans le cas des armatures d'âme droites associées ou non à des barres relâées équilibrant au plus la moitié de l'effort tranchant
- $\bar{\sigma}_u = \min(0.13 f'_{ce} ; 4 \text{ MPa})$

Règles C.S.A. A23.3 M73	Règles B.A.E.L 80	<ul style="list-style-type: none"> Dans le cas des armatures inclinées à 45° ou des armatures droites accompagnées d'armatures parallèles à l'axe de la poutre, de même densité $\tilde{\sigma}_u = \min(0.18 f_{c28}; 5.5 \text{ MPa})$ <p><u>Armatures d'âme</u></p> <p>La section A_t des armatures d'âme est donnée par la relation</p> $\frac{A_t}{b_0 s} = \frac{A_f}{b_0 s} = \frac{\tilde{\sigma}_u - 0.5 K}{0.9 f_e (\cos \alpha + \sin \alpha)}$ <p>α = l'angle d'inclinaison des armatures avec l'axe de la poutre</p> <p>- 1 au flexion simple</p>
-------------------------	-------------------	--------------------------------------------------------------------------------------------------------------------------------------------------------------------------------------------------------------------------------------------------------------------------------------------------------------------------------------------------------------------------------------------------------------------------------------------------------------------------------------------------------------------------------------------------------------------------------------------------------------------------------

Règles C.S.A. A 23.3 M 77

Règles B.A.E.L 80

- $K = 1 + \frac{3f_{cm}}{f_{tg}}$ en flexion composée avec compression. f_{cm} désignant la contrainte moyenne de compression de la section totale du béton, sous l'effort normal de calcul.
- $K = 1 - \frac{6f_{tm}}{f_{tg}}$ en flexion composée avec traction. f_{tm} est la contrainte moyenne de traction de la section totale du béton, sous l'effort normal de calcul.
- $K = 0$ en cas de reprise de détonnage ou lorsque la fondation est frigée très préjudiciable.

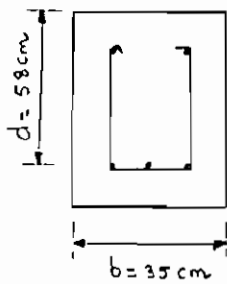
Règles C.S.A. A23.3 M77	Règles B.A.E.L 80
<p><u>Armature minimale</u> (A.2.1.2.3)</p> $A_{v\min} = \frac{0.35 \cdot b_w \cdot s}{f_y}$ <p>requie si $\frac{\alpha_e}{2} < v_u - v_c \leq 0.35 \text{ MPa}$</p> <p><u>Espacement des étriers</u></p> <ul style="list-style-type: none"> - <u>espacement nominal</u> $s = \frac{A_v f_y (\alpha_e + \cos \epsilon)}{b_w (v_u - v_c)}$ <p>pour des armatures droites $\Rightarrow \epsilon = 90^\circ$</p> $s = \frac{A_v f_y}{b_w (v_u - v_c)}$ <ul style="list-style-type: none"> - <u>espacement maximum</u> <p>si $v_u - v_c \leq 0.33 \sqrt{f_c} \text{ (mpa)}$</p> $s_{\max} = \min \left[d_2 (1 + \cot \epsilon) ; 3b_w ; 600 \text{ mm} \right] \quad (\text{A.2.2.1})$ <p>si $v_u - v_c > 0.33 \sqrt{f_c}$</p> $s_{\max} = \min \left[\frac{d}{4} (1 + \cot \epsilon) ; 1.5b_w ; 300 \text{ mm} \right] \quad (\text{A.2.2.1})$	<p><u>Armature minimale</u> (A.2.1.2.2)</p> $A_{v\min} = \frac{b_0 s_t}{f_c} \times \text{Max} \left(\frac{\epsilon_u}{2} ; 0.4 \text{ MPa} \right) \text{ requie si } \epsilon_u \leq 0.32 \text{ rad}$ <p><u>Espacement des étriers</u></p> <ul style="list-style-type: none"> - espacement nominal $s_t = \frac{A_t \cdot 0.9 f_t / s (\sin \epsilon + \cos \epsilon)}{(b_u - 0.5 K) b_0}$ <p>en cas d'actions durables ou transitionnelles ($\delta_s = 1.15$)</p> <ul style="list-style-type: none"> et en cas de reprise de l'état initial <p>pour des armatures droites ($\epsilon = 90^\circ$)</p> $\Rightarrow s_t = \frac{A_t \cdot 0.8 f_t}{b_0 \cdot b_u}$ <ul style="list-style-type: none"> - le diamètre d_t et l'espacement s_t des coups nécessaires d'armatures transversales doivent vérifier les relations $\phi_t \leq \min (h_{35} ; \phi_2 ; b_{10})$ $s_t \leq \min (0.9 d ; 40 \text{ cm}) \quad (\text{A.5.1.2.2})$

Exemple

Determination de l'espacement des armatures transversales d'une poutre.

exemple 9

En la section critique située à une distance "d" de la face de l'appui, déterminer l'espacement requis pour les étriers ≈ 10 en cette section pour les efforts tranchants de service suivants : $V_s = 170 \text{ kN}; 200 \text{ kN}; 300 \text{ kN}; 400 \text{ kN}; 450 \text{ kN}$



$$f_{c,p} = f'_c = 25 \text{ MPa}$$

$$f_t = f_y = 300 \text{ MPa}$$

on supposera que 60% de l'effort tranchant est dû aux charges permanentes.

Règles C.S.A. A 23.3 H 77

Règles B.A.E.L 80

Exemple de calcul

$$V_s = 170 \text{ kN}$$

Contrainte de cisaillement (vu)

$$\begin{aligned} V_u &= 1.4 V_b + 1.7 V_l = 1.4 \times 0.6 V_s + 1.7 \times 0.4 V_s \\ &= 1.4 \times 0.6 \times 170 + 1.7 \times 0.4 \times 170 = 258.4 \text{ kN} \\ vu &= \frac{V_u}{\phi b w d} = \frac{258}{0.85 \times 0.35 \times 0.58} = 1.5 \text{ MPa} \end{aligned}$$

Capacité du béton (vc)

$$\text{Méthode conservatrice } vc = 0.17 \sqrt{f'_c} = 0.17 \sqrt{25} = 0.85 \text{ MPa}$$

Calcul de vu - vc

$$vu - vc = 1.5 \text{ MPa} - 0.85 \text{ MPa} = 0.65 \text{ MPa}$$

Contrainte maximale permise

$$(vu - vc)_{\max} = 0.67 \sqrt{f'_c} = 0.67 \sqrt{25} = 3.35 \text{ MPa}$$

$0.65 \text{ MPa} < 3.35 \text{ MPa} \Rightarrow$ Les dimensions sont acceptables

Contrainte de cisaillement (zu)

$$\begin{aligned} V_u &= 1.35 V_b + 1.5 V_q = 1.35 \times 0.6 V_s + 1.5 \times 0.4 V_s \\ &= 1.35 \times 0.6 \times 170 + 1.5 \times 0.4 \times 170 = 239.7 \text{ kN} \\ zu &= \frac{V_u}{b \cdot d} = \frac{239.7}{0.35 \times 0.58} = 1.18 \text{ MPa} \end{aligned}$$

Contrainte maximale permise (z̄u)

$$\bar{z}_u = \min (0.13 f_{ck}, 4 \text{ MPa}) = 0.13 \times 25 = 3.25 \text{ MPa}$$

$$\begin{aligned} zu &= 1.18 \text{ MPa} < 3.25 \text{ MPa} \\ o.k. \end{aligned}$$

Règles C.S.A. A23.3 M77	Règles B.A.E.L 80
<p><u>Espacement requis (s)</u></p> $s = \frac{A_{vfy}}{b_w(v_u - v_c)} = \frac{2 \times 100 \times 300}{350 \times 0.65} = 264 \text{ mm}$ <p>$v_u - v_c = 0.65 \text{ MPa} > 0.35 \text{ MPa}$ on pourra plus que le renforcement minimal essigé</p> <p><u>Espacement maximal</u></p> $v_u - v_c = 0.65 \text{ MPa} < 0.33 \sqrt{f'_c} = 1.65 \text{ MPa}$ $s_{max} = \min \left[0.7 \times 580 ; 3b ; 600 \text{ mm} \right]$ $= \min \left[290 \text{ mm} ; 1050 \text{ mm} ; 600 \text{ mm} \right]$ $s_{max} = 290 \text{ mm} \quad s < s_{max} \quad O.K.$ <p>donc l'espacement des étirons en cette section est $s = \underline{\underline{264 \text{ mm}}}$</p>	<p><u>Espacement requis (s_t)</u></p> $\frac{s_t}{2 \times 300 \text{ mm}} \Rightarrow s_t = \frac{A_t \times 0.8 \text{ fe}}{(v_u - 0.5K) b_0}$ <p>1) en cas de reprise de bétonnage $\Rightarrow K = 0$</p> $s_t = \frac{2 \times 100 \times 0.8 \times 300}{1.18 \times 350} = 116 \text{ mm} \quad \underline{\underline{116 \text{ mm}}}$ <p>2) Sans reprise de bétonnage $\Rightarrow K = 1$ en flexion simple</p> $s_t = \frac{200 \times 0.8 \times 300}{(1.18 - 0.5) \times 350} = 202 \text{ mm} \quad \underline{\underline{202 \text{ mm}}}$ <p><u>Espacement maximal</u></p> $s_{max} = \min (0.9d ; 400 \text{ mm})$ $= \min (0.9 \times 580 ; 400) = 400 \text{ mm}$ <p>Les deux valeurs de s_t sont inférieures à 400 mm donc O.K.</p>

Règles C.S.A A23.3 M17

Résultats de l'exemple

Tableau: donnant l'espacement requis des armatures

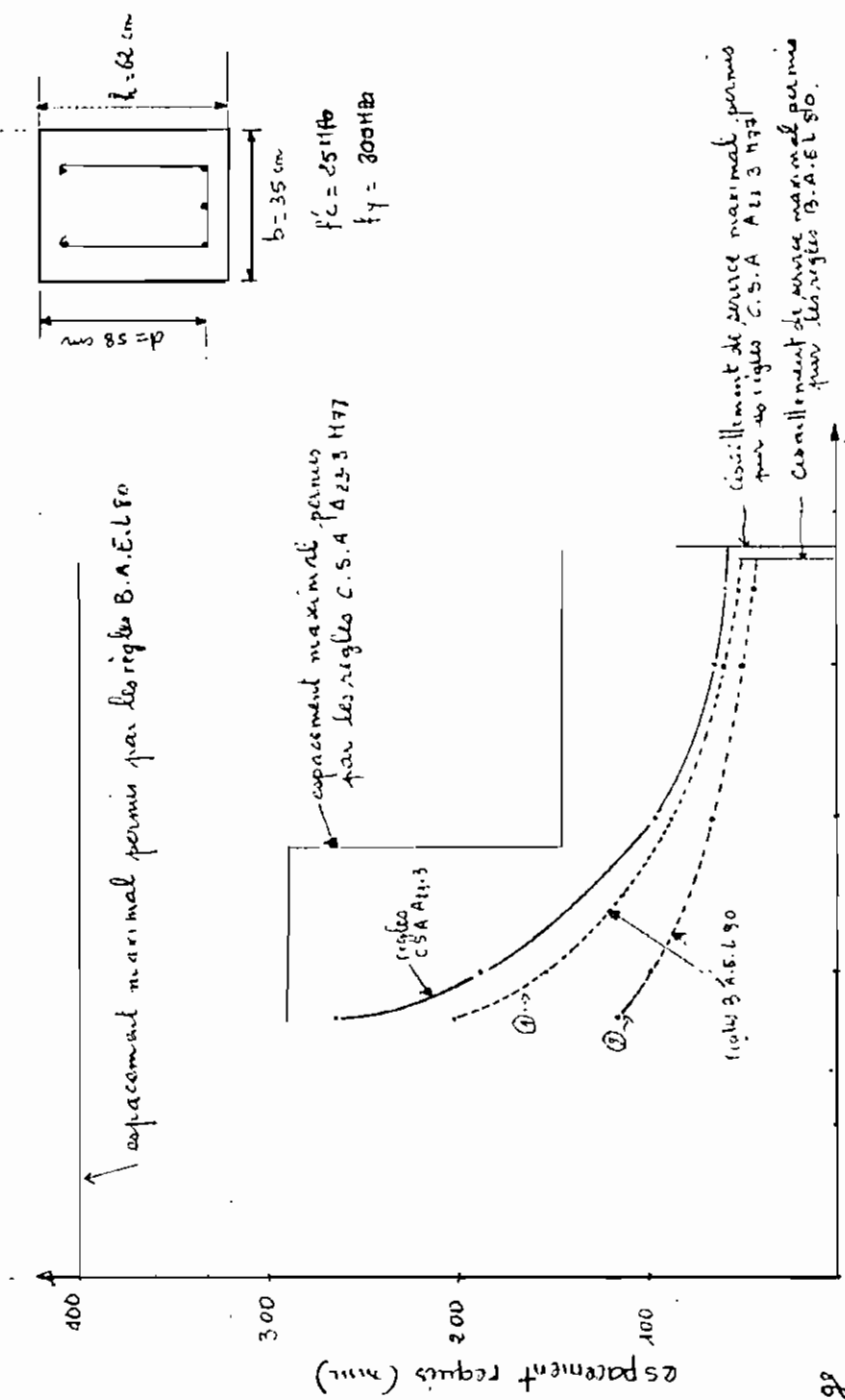
transversales en fonction de l'effort tranchant de service

S (mm)	170	200	300	400	450
S_t (mm)	264	188	96	64	59

V_s (kN)	170	200	300	400	450
S_t (mm)	116 ⁽¹⁾	99	66	49	44
S_t (mm)	202 ⁽²⁾	154	87	60	52

- (1) cas où il y a reprise de bétonnage
 (2) cas où il n'y a pas de reprise de bétonnage

Règles B.A.E.L 80



- ① cas où il n'y a pas reprise de l'étonnage
 ② cas où il y a reprise de l'étonnage

Graphique donnant l'espacement des armatures transversales requis en fonction de l'effort banchant de la partie

Discussion

en comparant les résultats de l'exemple, on constate que dans le cas où il y a reprise de bétonnage (situation la plus défavorable) les règles C.S.A A 23.3 M 77 conduisent à 25% d'économie d'acier en moyenne pour des valeurs assez élevées de l'effort tranchant de service et jusqu'à 56% pour les faibles valeurs par rapport aux règles B.A.E.L 80. Si il n'y a pas reprise de bétonnage, les règles C.S.A A 23.3 M 77 conduisent à 9% pour des valeurs assez élevées de l'effort tranchant et jusqu'à 23% pour les faibles valeurs.

CHAPITRE 5

COMPRESSION

Règles C.S.A. A23.3 M77	<p><u>5.1 Hypothèses de calcul</u></p> <ul style="list-style-type: none"> Mêmes hypothèses qu'en flexion (voir chap 3) 	<p><u>Règles B.A.E.L 80</u></p> <p><u>Hypothèses de calcul</u></p> <p>Mêmes hypothèses qu'en flexion (voir chap 3)</p> <p>Sauf que pour le diagramme contraintes - déformations du béton, la déformation ultime dans le béton est comprise entre les valeurs extrêmes suivantes : 2% (pour les combinaisons d'actions sans influence sur le fléchissement)</p> <p>6% (pour les combinaisons d'actions ayant toute une influence sur le fléchissement)</p> <p><u>Pourcentage d'acier</u></p> <p>$1\% \leq \rho \leq 8\%$ (§. 10.1)</p> <p><u>5.2 Compréssion centrale</u></p> <ul style="list-style-type: none"> Effort normal ultime $P_u = \phi \left[0.85 f'_c (A_g - A_{st}) + f_y A_{st} \right]$ <p><u>Br</u> est la section réduite du béton en déduisant de sa section réelle 1 cm d'épaisseur</p>
-------------------------	---------------------------------------------------------------------------------------------------------------------------------------	--------------------------------------------------------------------------------------------------------------------------------------------------------------------------------------------------------------------------------------------------------------------------------------------------------------------------------------------------------------------------------------------------------------------------------------------------------------------------------------------------------------------------------------------------------------------------------------------------------------------------------------------------------------------------------------------------------------------------------------------------------------------------------------------------------------------------------------

Riglos C.S.A. A.23.3 M77

Riglos B.A.E.L 80

- $\phi = 0.7$: pour les colonnes ligaturées
- $\phi = 0.75$: pour les colonnes spirales

$$\alpha = \frac{0.85}{1+0.2\left(\frac{\lambda}{35}\right)^2} \quad \text{pour} \quad \lambda \leq 50$$

$$\alpha = 0.60 \left(\frac{50}{\lambda}\right)^2 \quad \text{pour} \quad 50 < \lambda \leq 100$$

les α sont divisés par 1.10 si plus de la moitié des charges est appliquée avant 90 jours. Si la majeure partie est appliquée avant 28 jours on prend f_{cf} et le coefficient de réduction est 1.20

Conditions d'élançement

Élançement

$$K \frac{L_u}{r} \quad \text{colonnes élançées}$$

$$K \frac{L_u}{r} > 34 - 12 \frac{H_1}{H_2} \quad (\text{éléments comprimés contreventés})$$

$$\lambda > 50$$

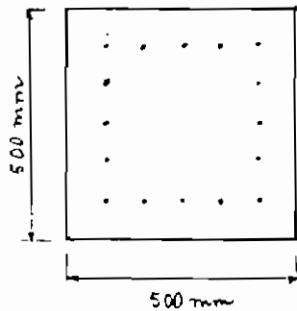
$$K \frac{L_u}{r} > 22 \quad (\text{éléments non contreventés})$$

Règles C.S.A. A23.3 M77	Règles B.A.E.L 80
<p><u>facteur d'amplification (δ)</u></p> $\delta = \frac{C_m}{1 - \frac{P_u}{\Phi P_{cr}}}$ <p>(S.12.0.1)</p> <p>$C_m = 1$ pour les colonnes contreventées avec charges latérales et pour les colonnes non contreventées</p> <p>$C_m = 0.6 + 0.4 \frac{M_1}{M_1 + M_2}$ pour les colonnes contreventées ayant des moments d'extensibilité</p> <p>les efforts calculés au niveau du centre de gravité ont pour valeur</p> <p>effort normal P_u</p> <p>Moment fléchissant $P_u \times e \times \delta$</p>	<p><u>facteur d'amplification (δ)</u></p> <ul style="list-style-type: none"> colonnes d'élançement $\lambda < 50$ $\delta = 1 + 0.2 \left(\frac{\lambda}{35} \right)^2$ si $e/h \leq 0.75$ $\delta = 1 + 0.2 \left(\frac{\lambda}{35} \right)^2 \frac{h}{e}$ si $e/h > 0.75$ <p>la section peut être frustrique en flexion compressive : effort Normal de calcul $N\delta$</p> <p>Moment fléchissant $N\delta(e + e_+)$</p> <p>e_+ : excentricité additionnelle $= \max(\frac{\lambda}{250}; \frac{2}{\lambda})$</p> <ul style="list-style-type: none"> colonnes d'élançement $\lambda > 50$ aucune amplification à part l'excentricité additionnelle e_+ qui tient compte d'une imperfection géométrique initiale. les alarques sont conçus en tenant compte de la longueur de flambement (l_f)

Exemples : Détermination de la charge axiale maximale de service d'une colonne

exemple 10

Soit une section de colonne suivante,



Déterminer la charge axiale maximale de service que la colonne peut supporter suivant les pourcentages de charges nives minantes 0.25 ; 0.5, 1

Données

$$f_c' = 25 \text{ MPa}$$

$$f_y = 400 \text{ MPa}$$

$$\text{élançement } \lambda = 35$$

$$\rho = 4\%$$

$$\gamma_b = 1.5$$

$$\gamma_s = 1.15$$

exemple 11

Même problème avec $\rho = 2\%$

exemple 12

Même problème avec $\rho = 1\%$

Rigids C.S.A. A23.3 M77	Example calculate (example 10)
$B_t = (480 \times 480) \text{ mm}^2 = 230400 \text{ mm}^2 = 0.83 \text{ m}^2$ $A_{356} + A_{59} \leq \alpha \left[\frac{B_t f_{c'is}}{0.9 f_{yis}} + \frac{A_{fe}}{f_y} \right]$ $f = 40\% \Rightarrow A_{is} = 10000 \text{ mm}^2$ $\eta / L / P_s = 0.85$ $1.40 + 1.71 \leq \phi [0.85 f'_c (A_g - A_{is}) + f_y A_{is}]$ $1.4 \times 0.75 P_s + 1.7 \times 0.25 P_s \leq 0.7 [0.85 \times 25 (0.25 - 0.01) + 400 \times 0.01]$ $P_s (1.05 + 0.485) \leq 6.37 \text{ MN}$ $P_s \leq \frac{6.37}{1.05 + 0.485} = 4.319 \text{ MN} = 4319 \text{ kN}$ $P_s \leq \frac{6.37}{1.05} = 6.37 \text{ MN}$ $P_s \times 1.7 \leq 6.37 \text{ MN}$ $\eta / L / P_s = 1$ $\approx P_s \leq \frac{6.37 \text{ MN}}{0.7 + 0.85} = 4.110 \text{ MN} = 4110 \text{ kN}$ $P_s (1.4 \times 0.5 + 1.7 \times 0.5) \leq 6.37 \text{ MN}$ $\eta / L / P_s = 0.5$ $P_s (1.0125 + 0.375) \leq 0.308 \left[\frac{0.23 \times 25}{0.4 \times 1.5} + \frac{0.01 \times 400}{1.15} \right]$ $P_s \leq \frac{5.483 \text{ MN}}{1.0125 + 0.375} = 3952 \text{ kN}$ $P_s (1.0125 + 0.375) \leq 0.308 \left[\frac{0.23 \times 25}{0.4 \times 1.5} + \frac{0.01 \times 400}{1.15} \right]$ $\eta / L / P_s = 0.5$ $P_s (1.4 \times 0.5 + 1.7 \times 0.5) \leq 6.37 \text{ MN}$ $\eta / L / P_s = 1$ $P_s \times 1.7 \leq 6.37 \text{ MN} = 3747 \text{ kN}$ $P_s \leq \frac{6.37 \text{ MN}}{1.7} = 3.743 \text{ MN} = 3656 \text{ kN}$	$P_s \leq \frac{6.37 \text{ MN}}{1.7} = 3.743 \text{ MN} = 3656 \text{ kN}$ $P_s \times 1.7 \leq 6.37 \text{ MN}$ $\eta / L / P_s = 1$ $\approx P_s \leq \frac{6.37 \text{ MN}}{0.7 + 0.85} = 4.110 \text{ MN} = 4110 \text{ kN}$ $P_s (1.4 \times 0.5 + 1.7 \times 0.5) \leq 6.37 \text{ MN}$ $\eta / L / P_s = 0.5$ $P_s (1.05 + 0.485) \leq 6.37 \text{ MN}$ $\eta / L / P_s = 0.85$ $1.40 + 1.71 \leq \phi [0.85 f'_c (A_g - A_{is}) + f_y A_{is}]$ $1.4 \times 0.75 P_s + 1.7 \times 0.25 P_s \leq 0.7 [0.85 \times 25 (0.25 - 0.01) + 400 \times 0.01]$ $P_s \leq \frac{6.37}{1.05 + 0.485} = 4.319 \text{ MN} = 4319 \text{ kN}$ $P_s \leq \frac{6.37}{1.05} = 6.37 \text{ MN}$ $P_s \times 1.7 \leq 6.37 \text{ MN}$ $\eta / L / P_s = 1$ $P_s \leq \frac{6.37 \text{ MN}}{1.7} = 3.743 \text{ MN} = 3656 \text{ kN}$

Règles C.S.A. A 23.3 M 77

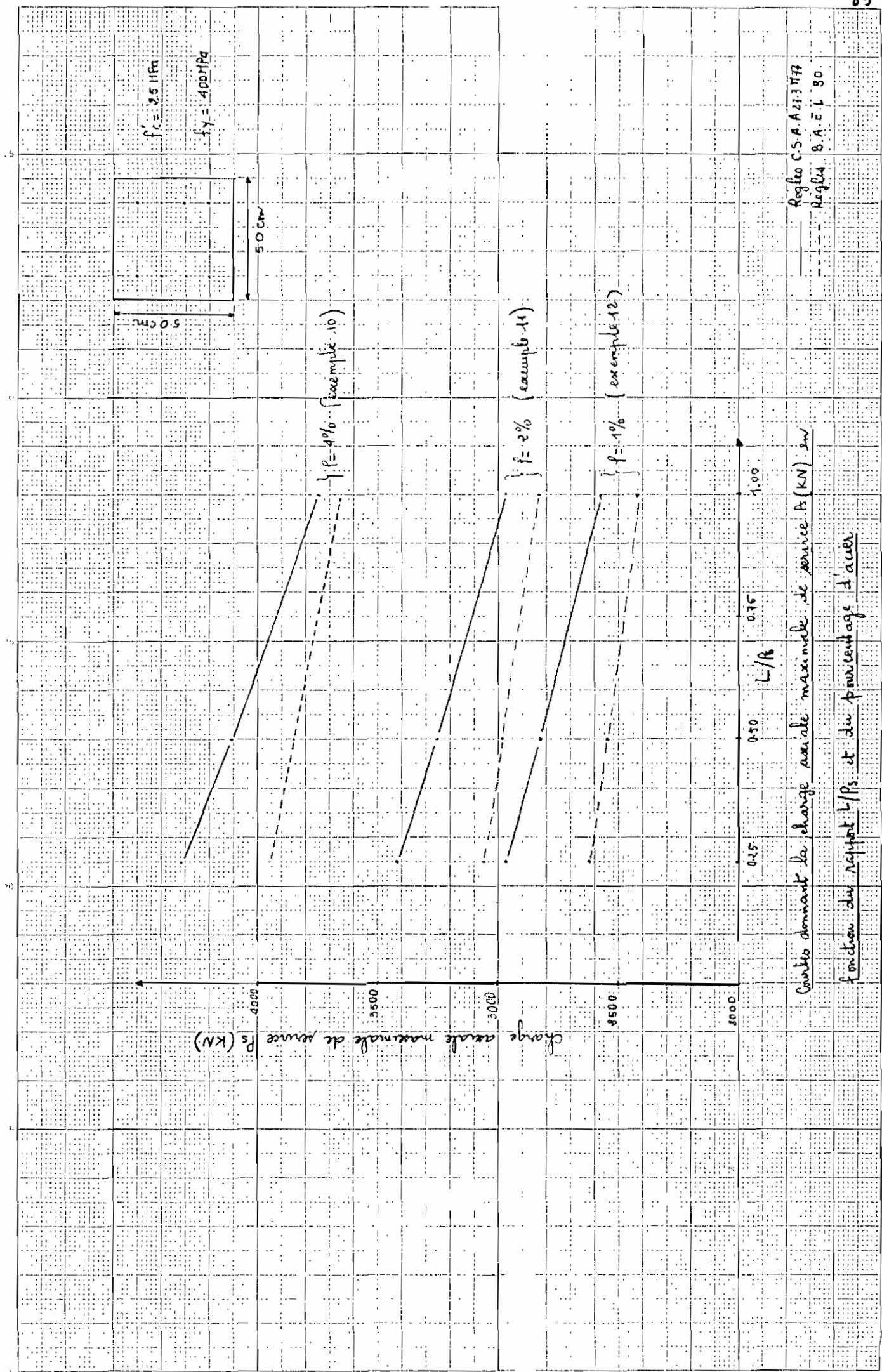
Règles B.A.E.L 80

Résultats des exemples (10, 11 et 12)

Tableau donnant la charge axiale maximale de service P_s (kN) en fonction du rapport $\frac{Q}{P_s}$ et du pourcentage d'acier (φ)

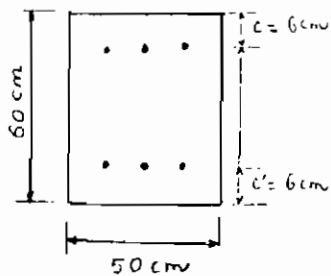
$\frac{Q}{P_s}$	$\varphi = 4\%$	$\varphi = 2\%$	$\varphi = 1\%$
0.25	4319	3420	2970
0.50	4110	3254	2827
1.00	3747	2967	2577

$\frac{Q}{P_s}$	$\varphi = 4\%$	$\varphi = 2\%$	$\varphi = 1\%$
0.25	3952	3064	2621
0.50	3848	2984	2552
1.00	3656	2835	2424



ExemplesDesign d'une colonne courte
(Armatures symétriques)

exemple 13 On considère un poteau de longueur de flambement $l_f = 3\text{ m}$ et dont la section est montrée ci-dessous, soumis à une charge totale de service $P_s = 1000 \text{ kN}$ et d'excentricité $e = 36 \text{ cm}$. Déterminer le pourcentage d'acier requis avec les pourcentages de charges mortes sur la charge totale de service suivantes : 0.95 ; 1

Données

$$f'_c = 20 \text{ MPa} \quad \gamma_b = 1.5$$

$$f_y = 400 \text{ MPa} \quad \gamma_s = 1.15$$

$$\gamma = 0.8$$

exemple 14

Répéter l'exemple avec $P_s = 1500 \text{ kN}$
(les résultats sont montrés au tableau)

Règles C.S.A. A23.3 M77

Exemple de calcul (exemple 13)

$$1^{\circ}) \quad \frac{P_0}{P_3} = 0.25$$

• calcul de l'élançement.

$$\left(\frac{K_{Ls}}{r}\right) = \frac{3}{0.3 \times 0.6} = 17 < 22 \quad \text{les effets d'élançement peuvent être négligés.}$$

• charge de charge (P_3)

$$P_3 = 1.4 \times 0.25 P_0 + 1.7 \times 0.75 P_0 \\ = 1.4 \times 0.25 \times 1000 + 1.7 \times 0.75 \times 1000 = 1625 \text{ KN}$$

• Moment de Design (M_u)

$$M_u = P_u \times e = 1625 \times 0.36 = 585 \text{ kNm} = \underline{\underline{0.585 \text{ kNm}}}$$

A l'aide des tables du "Metric design Handbook" for reinforced Concrete Elements nous allons déterminer ρ

- Soit la figure 3.68

$$\begin{aligned} f'_c &= 20 \text{ MPa} & \frac{P_u}{\rho g} &= \frac{1.625}{0.3} = 5.4 \text{ MPa} \\ f_y &= 400 \text{ MPa} & \frac{M_u}{\rho g h} &= \frac{0.585}{0.3 \times 0.6} = 3.25 \text{ MPa} \end{aligned} \quad \Rightarrow \rho = 1.6\%$$

Règles B.A.E.L. 80

Exemple de calcul (exemple 13)

$$1^{\circ}) \quad \frac{N_G}{P_3} = 0.25$$

• calcul de l'élançement

$$\lambda = \frac{l_f \times \sqrt{12}}{h} = \frac{3 \times \sqrt{12}}{60} = 17.32 < 50 \text{ la section peut être traitée en flexion composite}$$

• facteur d'amplification

$$\delta = 1 + 0.2 \times \left(\frac{A}{35}\right)^2 = 1 + 0.2 \times \left(\frac{17.32}{35}\right)^2 = 1.05 \text{ car}$$

$$\alpha h = \frac{36}{60} = 0.6 < 0.75$$

$$\alpha_s = \max \left[\frac{300}{250}, 2 \text{ cm} \right] = 2 \text{ cm}$$

• sollicitations de calcul

$$N_u = 1.35 \times 0.25 \times 1000 + 1.5 \times 0.75 \times 1000 = 1462 \text{ kN}$$

$$\alpha_u \delta = 1462 \times 1.05 = 1535 \text{ kN}$$

$$M_G = 1535 \times (0.36 + 0.02) = 583 \text{ kNm}$$

Règles C.S.A. A23.3 M77

la valeur de $\rho = 1.6\%$ est obtenue par interpolation entre les valeurs de $\rho = 1\%$ et $\rho = 2\%$

$$2^o) \frac{P_0 | P_S }{ } = 0.5$$

$$P_u = 1.4 \times 0.5 \times 1000 + 1.7 \times 0.5 \times 1000 = 1550 \text{ kN} = 1.55 \text{ MN}$$

$$M_u = P_u \times e = 1.55 \times 0.36 = 0.558 \text{ MNm}$$

$$\left. \begin{aligned} \frac{P_u}{A_g} &= \frac{1.55}{0.3} = 5.17 \text{ MPa} \\ \frac{M_u}{A_g h} &= \frac{0.558}{0.3 \times 0.6} = 3.1 \text{ MPa} \end{aligned} \right\} \Rightarrow \rho = 1.5\%$$

$$\nu = \frac{N}{b h f_{bc}} = \frac{1535}{0.5 \times 0.6 \times 0.85 \times \frac{20 \times 10^3}{1.5}} = 0.451$$

$$\mu_G = \frac{M_c}{b h^2 f_{bc}} = \frac{583}{0.5 \times 0.6 \times 0.85 \times \frac{20 \times 10^3}{1.5}} = 0.285$$

$$\left. \begin{aligned} \nu &= 0.451 \\ \mu_G &= 0.285 \end{aligned} \right\} \Rightarrow P + P' = 0.41 = \frac{(A + A') f_{cls}}{b h f_{bc}} \Rightarrow$$

$$\frac{A + A'}{348} = \frac{0.41 \times 0.5 \times 0.6 \times 11.53}{348} = 4.004 \times 10^{-3} \Rightarrow \rho = 1.33\% \quad \boxed{\text{---}}$$

Règles B.A.E.L 80

L'abaque 3.10 du "Guide pratique d'utilisation des règles B.A.E.L 80 par A. Capra et V. Davidovic. edit Eyrrolles" nous permet de calculer la section totale d'acier pour la connaissance du pourcentage mécanique $P + P'$ trouvé à partir des valeurs de ν et μ_G .

Ainsi :

$$\frac{c}{h} = 0.10$$

$$\frac{f_e}{f_c} = \frac{400}{1.15} = 348 \text{ MPa}$$

92

Réglages C.S.A. A23.3 M17	Réglages B.A.E.L 80
<p>3°) $\frac{P_0}{P_S} = 1.$</p> <p>$P_u = 1.4 \times 1000 = 1400 \text{ KN} = 1.4 \text{ MN}$</p> <p>$M_u = 1.4 \times 0.36 = 0.504 \text{ MNm}$</p> <p>$P_u / \rho g = \frac{A_u}{0.3} = 4.67 \text{ MPa}$</p> <p>$M_u / \rho g h = \frac{0.504}{0.3 \times 0.6} = 2.8 \text{ MPa}$</p>	<p>$2^{\circ}) \frac{N_G / P_S}{= 0.5}$</p> <p>$N_u = 1.35 \times 0.5 \times 1000 + 1.5 \times 0.5 \times 1000 = 1425 \text{ KN}$</p> <p>$N = N_u \delta = 1425 \times 1.05 = 1496 \text{ KN}$</p> <p>$M_v = 1496 \times 0.38 = 568.6 \text{ KNm}$</p> <p>$\mu_v = \frac{1496}{0.5 \times 0.6 \times 11333} = 0.44$</p> <p>$\mu_G = \frac{568.6}{0.5 \times (0.6)^2 \times 11333} = 0.28$</p> <p>$\Rightarrow P + P' = 0.4$</p> <p>$\Rightarrow A + A' = \frac{0.4 \times 0.5 \times 3.6 \times 11.333}{348} = 3.92 \times 10^{-3} \text{ m}^2$</p> <p>$\Rightarrow \rho = \underline{\underline{1.3\%}}$</p> <p>3°) $\frac{N_G / P_S}{= 1} \Rightarrow N_u = 1.35 \times 1000 = 1350 \text{ KN}$</p> <p>$N = 1.350 \times 1.05 = 1417 \text{ KN}$</p> <p>$\mu_v = \frac{1417}{3040} = 0.467$</p> <p>$\mu_G = \frac{1417 \times 0.38}{2040} = 0.264$</p> <p>$\Rightarrow P = \underline{\underline{1.17\%}}$</p>

Règles C.S.A. A23.3 M77

Règles B.A.E.L 80

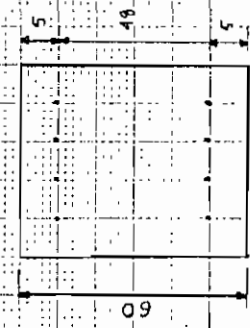
Résultats des exemples (A3 et A4)

Tableau donnant le pourcentage d'acier (ρ)

en fonction du rapport P_b/P_s pour des charges de service de 1000 KN et 1500 KN

P_b/P_s	0.25	0.5	1
$P_s = 1000 \text{ KN}$	1.6%	1.5%	1.2%
$P_s = 1500 \text{ KN}$	3.8%	3.5%	2.8%

N_c/P_s	0.25	0.5	1
$P_s = 1000 \text{ KN}$	1.33%	1.30%	1.17%
$P_s = 1500 \text{ KN}$	3%	2.8%	2.5%

Arbre contre

Exemple 14 ($P_s = 1500 \text{ kN}$)
 $a = 36 \text{ cm}$

paramétrage d'acc (100xP)

$$f'_c = 20 \text{ MPa}$$

$$f_y = 40 \text{ MPa}$$

Exemple 13 ($P_s = 1000 \text{ kN}$)
 $a = 36 \text{ cm}$

$$P_s / P_0 = 0.50 : 0.35 : 1.00$$

Courbes donnant le pourcentage d'acier (P) en fonction du rapport charges mortes sur charge totale de service

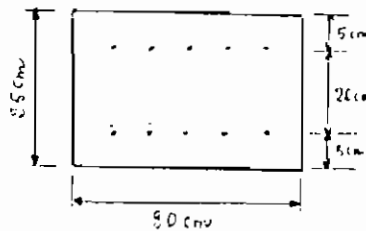
Reg. C.S.A. A2.1 177
 - Agb. B.A.E.L 80

exempla

Design d'une colonne élancée

(armatures symétriques)

exempla 15 on considère un poteau de longueur de flambement $l_f = 4.95 \text{ m}$ dont la section est montrée ci - contre, soumis à une charge



de service $P_s = 500 \text{ kN}$ et d'excentricité $e = 8 \text{ cm}$.
Déterminer le pourcentage d'acier requis en considérant les pourcentages de charges

mortes suivantes: 0,25 ; 0,5 ; 1
le poteau fait partie d'un bâtiment non contreventé.

Données

$$f'_c = 20 \text{ MPa} \quad \gamma_b = 1.5$$

$$f_y = 400 \text{ MPa} \quad \gamma_s = 1.15$$

Règles C.S.A. A23.3 M17

exemple de calcul

$$P_0/P_s = 0.25$$

élançement

$$\frac{K_{Lw}}{r} = \frac{4.95}{0.3 \times 0.25} = 66 > 22 \Rightarrow \text{on doit considérer les effets d'élançement}$$

facteur d'amplification

$$\delta_c = \frac{c_m}{1 - \frac{P_u}{\phi P_{cr}}}$$

$$P_{cr} = \frac{\pi^2 EI}{(K_{Lw})^2} \quad (\text{charge critique d'Euler})$$

$$EI = \frac{0.4 E_c I_g}{1 + \beta_0} \quad (\text{§ 12.6.2) (méthode conservatrice).}$$

$$E_c = 5000 \sqrt{f_c} = 5000 \sqrt{40} = 22360 \text{ MPa} = 22.36 \text{ GPa}$$

$$I_g = \frac{1}{12} \times 0.80 \times (0.25)^3 = 1.04 \times 10^{-3} \text{ m}^4$$

Règles B.A.E.L

example de calcul

$$N_c/P_s = 0.25$$

élançement

$$\lambda = \frac{4.95 \times \sqrt{12}}{0.25} = 69$$

solicitation de calcul

$$N_u = 1.35 \times 0.25 \times 500 + 1.5 \times 0.35 \times 500 = 731.25 \text{ kN}$$

$$b h f_{bc} = 0.8 \times 0.25 \times 0.85 \times \frac{20}{1.5} = 22.66 \text{ kN}$$

$$\sigma = \frac{N_u}{b h f_{bc}} = \frac{731.25}{22.66} = 0.323$$

L'effort normal est considéré de longue durée
soit à 100 du flUAGE donc ϵ_u sera pris égal à
 $\epsilon_u = 6\%$

$$\begin{aligned} &\text{excentricité} \\ &\ell_0 = \ell + \max\left(\frac{h_f}{250}, 1.2 \text{ cm}\right) = 8 \text{ cm} + 2 \text{ cm} = 10 \text{ cm} \\ &\Rightarrow \ell_0/h = \frac{10}{4.5} = 0.4 \end{aligned}$$

Règles C.S.A. A 23.3 M 77	Règles B.A.E.L 80
$\beta_0 = \frac{1.4 N_0}{1.4 N_0 + 1.7 N_L} = \frac{1.4 \times 0.25 \text{ NS}}{1.4 \times 0.25 \text{ NS} + 1.7 \times 0.15 \text{ NS}} = 0.215$ $EI = \frac{0.4 \times 22.36 \times 10^6 \times 1.04 \times 10^{-3}}{1 + 0.215} = 7.656 \times 10^3 \text{ KNm}^2$ $P_{cr} = \frac{\pi^2 \times 7.656 \times 10^3}{(4.95)^2} = 3084 \text{ KN}$ $P_u = 1.4 \times 0.25 \times 500 + 1.7 \times 0.75 \times 500 = 812.5 \text{ KN}$ $\frac{P_u}{P_{cr}} = \frac{812.5}{0.7 \times 3084} = 0.346$ $c_m = 1$ cadre contreventé	<ul style="list-style-type: none"> calcul du ferrailage on utilise l'abaque 4.8 du "Guide pratique d'utilisation des règles B.A.E.L 80 de A. Capra et V. Davidovici" défini par les paramètres $\frac{P_f}{h} = \frac{4.95}{0.25} = 20$ $\epsilon_u = 6\%$ $\mathcal{V} = 0.323 \quad P = 0.325, \mu_G = 0.218$ $\epsilon_b/h = 0.4$ <p>où la section totale des armatures</p> $A = \frac{P b h f_{bc}}{f_{cls}} = \frac{0.325 \times 2266}{34.8 \times 10^{-4}} \text{ m}^2 = 21.8 \text{ cm}^2$ $\Rightarrow P = \frac{A}{b h} = \frac{21.8}{80 \times 25} \underset{\approx}{=} 1.1\%$ <p>Sollicitations de calcul</p> $P_u = 812.5 \text{ KN}$ $M_u = 812.5 \times 0.08 \times 1.6 = 104 \text{ KNm}$

Règles C.S.A. A23.3 M 77

on utilise l'abaque de la figure 3.47 défini par les paramètres

$$f'_c = 20 \text{ MPa}$$

$$f_y = 400 \text{ MPa}$$

$$\gamma = 0.8$$

$$\text{soit } \frac{P_u}{A_g} = \frac{0.812}{0.25 \times 0.8} = 4.06 \text{ MPa} \quad \Rightarrow f_{\min} = 1\%$$

$$\mu_u/Agh = \frac{0.104}{0.2 \times 0.8} = 0.65 \text{ MPa}$$

le point correspondant donne une valeur de f inférieure au pourcentage minimal permis ($P_{\min} = 1\%$) d'où le pourcentage d'acier à mettre est

$$\underline{\underline{f_{\min} = 1\%}}$$

Règles B.A.E.L 80

au tableau de la figure 3.47 défini par les paramètres

donne un pourcentage minimal permis ($P_{\min} = 1\%$)

et

$$\underline{\underline{f_{\min} = 1\%}}$$

Règles C.S.A A23.3 M77

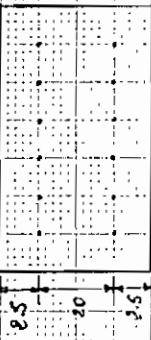
Règles B.A.E.L 80

Résultats de l'ax campl a 15
Tableau donnant le pourcentage d'acier requis
en fonction du rapport P_0/P_s pour un effort normal
 P_s égal à 500 KN et en hauteur $\ell = 8 \text{ cm}$

P_0/P_s	0.25	0.5	1
$f^*(\%)$	1	1	1

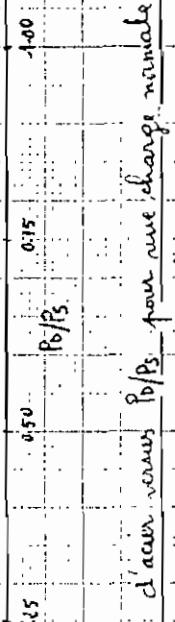
$N_{0.1}P_s$	0.25	0.5	1
$f(\%)$	1.1	1.05	0.97

- * les valeurs indiquées au tableau correspondent au pourcentage minimal car celles requises sont inférieures au pourcentage minimal permis



$f'_c = 20 \text{ MPa}$
 $f_y = 400 \text{ MPa}$
Colonne sollicitée

Exemple 15. ($P_s = 500 \text{ kN}$)
 $e = 8 \text{ cm}$



Parcours d'acier sous P_0/P_s pour une charge normale
de niveau $P_s = 500 \text{ kN}$ d'excentricité $e = 8 \text{ cm}$

Bague C.S.A. R.213 N°7
Bague E.A.E.L. 80

Discussion

D'après les résultats des exemples concernant la détermination de la charge axiale maximale de service en fonction du pourcentage des charges vives et du pourcentage d'acier, on remarque que les règles C.S.A A23.3 M77 permettent des charges axiales de service supérieures à celles données par les règles B.A.E.L 80. Dans le domaine normal, c'est à dire charges vives sur charges de service ($\frac{L}{P_s}$) compris entre 0.25 et 0.5, les règles C.S.A A23.3 M77 permettent d'augmenter la charge axiale de service donné par les règles B.A.E.L 80 d'environ 10% pour des pourcentages d'acier compris entre 1% et 4%

Pour les exemples concernant le design d'une colonne courte avec armatures symétriques, on constate que dans le domaine normal, les règles B.A.E.L 80 permettent une économie d'acier d'environ 15% par rapport aux règles C.S.A. A23.3 M77 pour une charge de service de 1000 kN d'excentricité de 36 cm et jusqu'à une économie de 20% pour une charge de service de 1500 kN.

Pour l'exemple concernant le design d'une colonne élancée, les deux règlements donnent des résultats qui sont comparables.

CHAPITRE 6

CRITÈRES de RUINE
(flèche et fissuration)



Règles C.S.A. A 25.3 M 77

6.1 Flâches

Cas où les flâches doivent être considérées

En pâisseur minimalisable portant, au dessous de laquelle les flâches doivent être considérées.

Simplement appuyées	continues à une extrémité	en continu avec deux extrémités à-faux
Pièces qui ne supportent pas ou ne sont pas prises dans des liaisons ou autres constructions susceptibles d'être endommagées par des déformations.		

Dalles plates portant dans une direction	$l/20$	$l/24$	$l/28$	$l/10$
pour des dalles renforcées portant dans une direction	$l/16$	$l/18.5$	$l/21$	$l/8$

Cas où la vérification de la flâche n'est pas nécessaire

- On peut se dispenser du calcul des flâches si la portée est associée à un houaris et si les relations suivantes sont toutes vérifiées.

$$\frac{h}{b} > \frac{l}{16}$$

$$\frac{A_{bd}}{b_0} \leq \frac{4.2}{f_e \text{ (MPa)}}$$

- Pour plancher supportant des cloisons

- La portée l et l'épaisseur b sont mm
- les valeurs de ce tableau sont valables pour un béton de densité normale ($w_c = 2400 \text{ kg/m}^3$) et avec une armature ayant $f_y = 400 \text{ MPa}$
- pour $1500 \leq w_c \leq 1900 \text{ kg/m}^3$, multiplier les valeurs du tableau par $1.65 - 0.003 w_c$ mais pas moins que 1.09

Règles B.A.E.L 80

Règles C.S.A. A 23.3 M 77

Pour $f_y \geq 400 \text{ MPa}$, multiplier par $0.4 + f_y / 690$

Calcul des fléches

fléche instantanée au chargement (Δ_i)

$$\Delta_i = \frac{K H \rho^2}{E_c I_g}$$

$$E_c = 0.043 w_c^{1.5} \sqrt{f'_c}$$

$$I_e = \left(\frac{H_{cr}}{H_a} \right)^3 I_g + \left[1 - \left(\frac{H_{cr}}{H_a} \right)^3 \right] I_{cr} \quad I_e \leq I_g$$

$$\text{avec } H_{cr} = \frac{f_r I_g}{Y_e} \quad (7.6.2.2)$$

$$f_r = 0.6 f'_c \quad (\text{béton de densité normale})$$

fléche à long terme

$$\lambda_d = (\Delta_{inst})_0$$

$$\lambda_d = 2 - 1.2 \frac{A_s'}{A_s} \geq 0.6$$

Règles B.A.E.L 80

- Calcul des fléches
- Poutres simplement appuyées
fléche instantanée (f_i)

$$f_i = \frac{H \rho^2}{10 E_i I_{f_i}} \quad (B.6.5.2)$$

$$\text{avec } I_{f_i} = \frac{I_o}{1 + \lambda_i \mu} \quad \text{ou} \quad d_i = \frac{0.05 f_{tss}}{\left(2 + 3 \frac{b_o}{b} \right) \rho}$$

$$\mu = 1 - \frac{1.75 f_{tss}}{4 \rho \sigma_s + f_{tss}} > 0$$

fléche à long terme (f_v)

$$f_v = \frac{H \rho^2}{10 E_v I_{f_v}}$$

$$I_{f_v} = \frac{I_o}{1 + \lambda_v \mu} \quad \text{ou} \quad d_v = \frac{0.02 f_{tss}}{\left(2 + 3 \frac{b_o}{b} \right) \rho}$$

- Poutres en console

$$f_i = \frac{H \rho^2}{4 E_i I_{f_i}} ; \quad f_v = \frac{H \rho^2}{4 E_v I_{f_v}}$$

Règles C.S.A A23.3 M77

flèches calculées maximales admissibles		
Type de pièce	Déformations à prendre en considération	Limite de la flèche
Toits plats qui ne supportent pas ou ne sont fixés à aucun élément non structural susceptible d'être endommagé par une flèche trop accentuée	Flèche instantanée imputable à la surcharge L	$\frac{L}{180}$
Planchers qui ne supportent pas ou ne sont fixés à aucun élément non structural susceptible d'être endommagé par une flèche trop accentuée	Flèche instantanée imputable à la surcharge L	$\frac{L}{360}$
Toits et planchers qui supportent ou sont fixés à des éléments non structuraux susceptibles d'être endommagés par une flèche trop accentuée	La partie de la flèche totale qui se manifeste après la fixation des éléments non structuraux. La somme des déformations différences imputables à toutes les charges et la déformation instantanée imputable à toute surcharge supplémentaire	$\frac{L}{480}$
Toits ou planchers qui supportent ou sont fixés à des éléments non structuraux qui ne sont pas susceptibles d'être endommagés par une flèche trop accentuée		$\frac{L}{240}$

Règles B.A.E.L 80

Valeurs limites des flèches

- Eléments reposant sur deux appuis

$\frac{l}{500}$ si l est inférieur à 5 m

$\frac{l}{1000} + 0.5 \text{ cm}$ si $l > 5 \text{ m}$

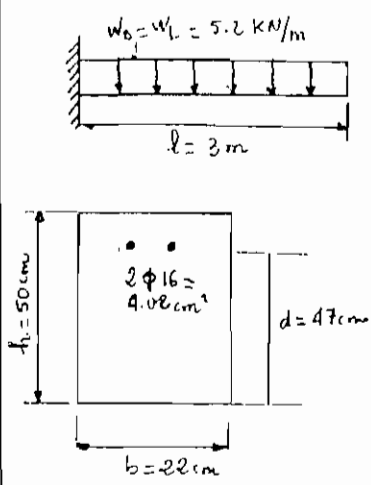
- Pour les éléments en console

$\frac{l}{250}$ si $l \leq 2 \text{ m}$

Exemple 16

Calcul de flèche

Pour la poutre en porte-à-faux ci-contre, déterminer la flèche maximale sachant que la charge vive est égale à la charge permanente = 5.2 kN/m



$$f'_c = 20 \text{ MPa} \quad w(\text{beton}) = 2400 \text{ kg/m}^3$$

$$f_y = 400 \text{ MPa}$$

Règles C.S.A. A23.3 H77	Règles B.A.E.L 80
<ul style="list-style-type: none"> Distance fibre inférieure - axe neutre (c) $a = \frac{A_s t_y}{0.85 f_{c,b}} = \frac{4.02 \times 400}{0.85 \times 20 \times 25} = 4.5 \text{ cm}$ $c = \frac{a}{B_1} = \frac{4.5}{0.85} = \underline{\underline{5.3 \text{ cm}}}$ Moment d'inertie flionne' (I_{cr}) $I_{cr} = \frac{b}{3} \frac{c^3}{3} + m A_s (d - c)^2 + (m-1) A'_s (c - d')^2$ $A'_s = 0, \quad m = \frac{E_a}{E_c} = \frac{200000}{5000\sqrt{20}} = 9.5$ $I_{cr} = \frac{0.022 \times (0.053)^3}{3} + 9.5 \times 4.02 \times 10^{-4} (0.47 - 0.053)^2$ $= 6.84 \times 10^{-4} \text{ m}^4$ Moment d'inertie brute (I_g) $I_g = \frac{1}{12} \times 0.28 \times (0.5)^3 = 2.29 \times 10^{-3} \text{ m}^4$ Moment d'inertie pur rapport à la fibre inférieure, $I = \frac{2250 \times 27500 + 47 \times 2834}{3} = 1050000 \text{ cm}^4$ $x = \frac{\text{Moment statique}}{\text{Aire totale}} = \frac{30334}{2250 + 15 \times 4.02} = \underline{\underline{26.14 \text{ cm}}}$ 	<ul style="list-style-type: none"> Distance axe neutre - fibre inférieure (x) $\cdot \text{ Moment statique par rapport à la fibre inférieure.}$ Béton : $22 \times 50 \times 25 = 27500 \text{ cm}^3$ Acier : $15 \times 4.02 \times 47 = \frac{2834}{30334 \text{ cm}^3}$ Moment d'inertie par rapport à la fibre inférieure, $I_0 = 1050000 \text{ cm}^4 - 30334 \times 26.14 \text{ cm}^4 = 2549000 \text{ cm}^4$ $6s = \frac{M}{I_0} = \frac{(M_c + M_q)}{I_0} = \frac{0.0468 \times 0.208}{2549 \times 10^{-4}} = 9.48 \text{ MPa}$ $f_t s = 0.6 + 0.06 \times 20 = 1.8 \text{ MPa}$ $P = \frac{4.02}{22 \times 47} = 0.00389$

Règles C.S.A. A 23.3 M₇₇

- flèche instantanée (Δ_0) due à la charge permanente

$$M_a = \frac{W_a l^2}{2} = \frac{5.2 \times 3^2}{2} = 23.4 \text{ kNm}$$

. Inertie effective

$$I_e = I_{cr} + \left(\frac{M_{cr}}{M_a}\right)^3 (I_g - I_{cr}) = 6.84 \times 10^{-4} + \left(\frac{24.57}{23.4}\right)^3 (2.29 \cdot 10^{-3} - 6.84 \cdot 10^{-4}) \\ = 8.54 \times 10^{-3} \text{ m}^4 > I_g = 2.29 \times 10^{-3} \text{ m}^4 \Rightarrow$$

$$I_e = I_g = 2.29 \times 10^{-3} \text{ m}^4$$

$$\lambda_p = 2 - 1.2 \frac{A'_s}{A_s} = 2 \quad (A'_s = 0)$$

$$\Delta_0 = \frac{M l^2}{4 E_c I_e} = \frac{0.0234 \times (3)^2}{4 \times 5000 \sqrt{20} \times 2.29 \times 10^{-3}} = 10.3 \times 10^{-4} \text{ m}$$

- flèche instantanée due à la charge vive

$$M_l = \frac{W_l l^2}{2} = \frac{5.2 \times 3^2}{2} = 23.4 \text{ kNm}$$

$$M_a = M_l + M_0 = 46.8 \text{ kNm}$$

$$I_e = I_{cr} + \left(\frac{M_{cr}}{M_a}\right)^3 (I_g - I_{cr}) = 9.16 \times 10^{-4} \text{ m}^4 < I_g = 6.84 \times 10^{-4} \text{ m}^4$$

$$\Delta_l = \frac{M l^2}{4 E_c I_e} = \frac{0.0234 \times 9}{4 \times 5000 \sqrt{20} \times 9.16 \times 10^{-4}} = 25.7 \times 10^{-4} \text{ m}$$

Règles B.A.E.L 80

$$E_v = 4000 (f_{cr})^{1/3} = 4000 \times (20)^{1/3} = 10857 \text{ MPa}$$

$$\mu = 1 - \frac{1.75 f_{cr}}{4 f_{cr} + f_{tcr}} = 1 - \frac{1.75 \times 1.8}{4 \times 0.00389 \times 3.78 + 1.8} < 0$$

$$\Rightarrow \mu = 0$$

$$I_{fv} = \frac{I_o}{1 + \lambda_v \mu} = I_o = 25.7 \times 10^{-4} \text{ m}^4$$

flèche à long terme (f_v)

$$f_v = \frac{M l^2}{4 E_v I_{fv}} = \frac{0.0468 \times (3)^2}{4 \times 10857 \times 25.7 \times 10^{-4}} = 3.77 \times 10^{-3} \text{ m}$$

Règles C.S.A A23.3 M77

flèche à long terme (Δ_{LT})

$$\Delta_{LT} = 25.7 \times 10^{-4} + 2 \times 10.3 \times 10^{-4} = 46.63 \times 10^{-4} \text{ m}$$

$$\boxed{\Delta_{LT} = 4.63 \text{ mm}}$$

flèches admissibles selon les conditions d'utilisation

$$\frac{L}{180} = 1.6 \text{ mm} \quad O.K.$$

$$\frac{L}{360} = 8.3 \text{ mm} \quad O.K.$$

$$\frac{L}{480} = 6.25 \text{ mm} \quad O.K.$$

$$\frac{L}{240} = 12.5 \text{ mm} \quad O.K.$$

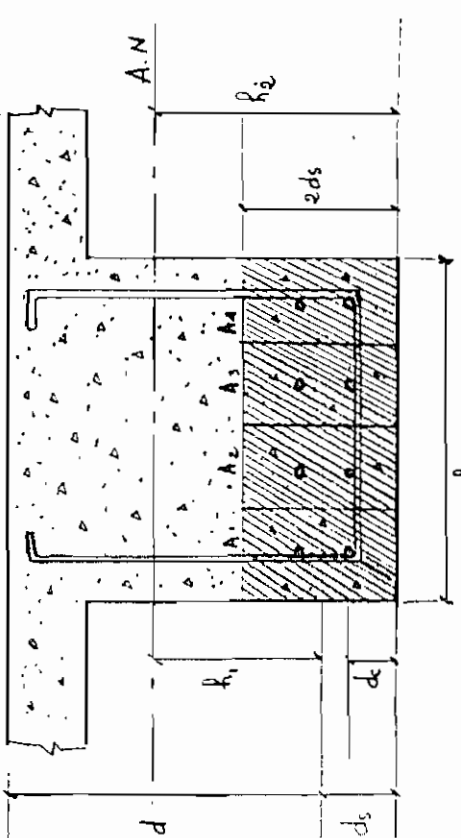
Règles B.A.E.L 80

flèche à long terme

$$\boxed{f_V = 3.77 \text{ mm}}$$

flèche maximale admissible

$$\frac{L}{250} = \frac{3000}{250} = 12 \text{ mm} \quad \rightarrow f_V = 3.77 \text{ mm} \quad O.K.$$

Regles C.S.A A 29.3 H 77	6.2 Fissuration	Regles B.A.E.L 80
	<p></p> <ul style="list-style-type: none"> * Cas où la fissuration est peu nuisible (A..4.5.3.2) <ul style="list-style-type: none"> • Eléments situés dans des locaux couverts et clos non soumis à la condensation • Parements, revêtements, revêtements de protection * Cas où la fissuration est préjudiciable <ul style="list-style-type: none"> • Eléments exposés aux intempéries, à la condensation ou alternativement noyés et émergés en eau douce <p>Regles à observer</p> <p>longeur des fissures (l_f)</p> $l_f = 11.1 \times 10^{-6} \beta_R f_s \sqrt{d c A} \quad (\text{relation de Gergely et Lutz})$ <p>avec $\beta_R = h_2/h_1$</p> <p>f_s = contrainte de service $0.6 f_y$</p> <p>$d c$ = épaisseur d'enrobage</p> <p>A = surface effective $= \frac{\epsilon A_i}{N} = \begin{cases} \frac{2 d c h_0}{N} & \text{pour 1 rangée de barres} \\ \frac{ed s h_w}{N} & \text{pour 2 rangées} \end{cases}$</p>	<ul style="list-style-type: none"> * Cas où la fissuration est peu nuisible (A..4.5.3.2) <ul style="list-style-type: none"> • Eléments situés dans des locaux couverts et clos non soumis à la condensation • Parements, revêtements, revêtements de protection * Cas où la fissuration est préjudiciable <ul style="list-style-type: none"> • Eléments exposés aux intempéries, à la condensation ou alternativement noyés et émergés en eau douce <p>Regles à observer</p> <p>la contrainte de traction des armatures σ_s est limitée à la plus basse des deux valeurs $\frac{2}{3} f_t$ et 150η MPa</p> <p>où η = coefficient numérique de formation qui vaut 1 pour les barres lisses et treillis soudés et 1.6 pour les barres à haute adhérence.</p>

Règles C.S.A. A23.3 M 17	Règles B.A.E.L 80
<u>Valeurs limites des largeurs de fentes</u> $d_f = \begin{cases} 0.40 \text{ mm} & \text{pour exposition intérieure} \\ 0.30 \text{ mm} & \text{pour exposition extérieure} \end{cases}$	<ul style="list-style-type: none"> - le diamètre ϕ des armatures sont réparties sur les parements à raison d'eau moins 3 cm^2 par mètre de longueur de parement, disposées parallèlement à la fibre moyenne des panneaux. - Pour les panneaux: L'écartement de 2 bandes tendues de diamètre $\phi > 20 \text{ mm}$ doit $\leq 4\phi$ - D'après ou tables d'épaisseur $h \leq 40 \text{ cm}$. L'écartement de deux bandes d'une même nappe est égal au plus à la plus petite des deux valeurs 25 cm et $2h$ (h = épaisseur de l'élément)
<u>Nombre minimal de bandes pour réaliser ce critère</u> $N \geq \frac{2 (d_c)^2 g_w}{(Z/f_s)^3}$ $on \quad Z = f_s \sqrt[3]{d_c A} \leq 30000 \text{ N/mm}$ pour exposition intérieure $Z \leq 25000 \text{ N/mm}$ pour exposition extérieure $(\text{taux } 8.7.2.4)$	<p><u>Cas où la fissuration est très préjudiciable (14.5.3.4)</u></p> <ul style="list-style-type: none"> • Éléments exposés à un milieu agressif (eau douce (brouillards salins), eau pure, gaz ou sols corrosifs)

	<u>Règles B.A.E.L 80</u>
	<p><u>Règles à observer</u></p> <ul style="list-style-type: none"> - $s_s = \min(0.5f_e, 10\eta)$ nea - le diamètre des armatures $\phi \geq 8$ mm - des "armatures de peau" sont disposées comme précédemment mais de section au moins égale à 5 cm² par mètre de parement - Pour les portées l'écartement des deux barres tendues de diamètre $\phi > 20$ mm doit être au plus égal à trois fois leur diamètre - Dalles et voiles d'épaisseur $h \leq 40$ cm : l'écartement des armatures d'une même nappe est égal au plus à la plus petite des deux valeurs 20 cm et 1.5 h.

CONCLUSION et DISCUSSION

Il ressort de toute cette étude comparative, que nous avons faites, que globalement les deux règlements ne présentent pas de différence significative du point de vue des résultats, bien qu'on remarque une certaine différence sur la philosophie des deux approches.

Les deux règlements sont basés sur la théorie élastique. Pour des raisons pratiques, la distribution rectangulaire équivalente de Whitney est adaptée par les deux règlements pour l'analyse des contraintes dans le béton avec pour contrainte maximale $0.85 f'_c$ pour les normes Canadiennes et $0.85 \frac{f'_c}{\gamma_b}$ pour les normes Françaises. Le terme γ_b est un coefficient de sécurité qui tient compte de la dispersion des résultats de la résistance du béton ainsi que d'éventuels défauts localisés. Il vaut 1.5 pour les situations durables et 1.15 pour les situations accidentelles. Par contre les normes canadiennes utilisent la limite d'écoillement de l'acier (f_y) comme contrainte de calcul mais emploient un facteur de performance ϕ qui est inférieur à 1 mais varie suivant la sollicitation considérée. La déformation ultime permise dans l'acier est de 0.35% pour les normes canadiennes et de 10% pour les règles Françaises.

Mais ce qu'il faut noter, c'est que du point de vue résultats concernant la consommation d'acier suivant une

s sollicitation donnée, ou bien la résistance pour une même quantité d'acier, les deux règlements sont souvent comparables.

Mais cela ne nous empêche pas de résumer ci-dessous l'essentiel de nos résultats.

1 Flexion simple

Du point de vue consommation d'acier, les normes canadiennes (C.S.A. A23.3 M27) emploient un peu plus d'acières lorsque le pourcentage des charges mortes sur la charge totale de service est assez faible et ceci d'autant plus que le moment de service devient important. lorsque les charges mortes constituent plus de la moitié de la charge totale de service les résultats sont comparables.

La quantité d'acier de 400 MPa maximale permise en tension par les normes françaises (B.A.E.L 80) est supérieure d'environ 9.6% par rapport aux normes canadiennes pour les bétons de 20 à 30 MPa et de 16% pour les bétons de résistance supérieure à 30 MPa. (Voir annexe B page 124).

Pour les sections en Té faiblement armées en tension, les résultats du point de vue résistance sont comparables pour un béton de 20 MPa. les règles canadiennes offrent un peu plus de résistance pour les sections fortement armées et avec un rapport charges mortes sur charge totale de service assez élevé. Pour un béton de 40 MPa les résultats sont inversés.

2. Cisaillage

En cas de reprise de bétonnage (situation la plus défavorable) les normes canadiennes conduisent à 25% en moyenne d'économie d'acier pour des valeurs assez élevées de la contrainte de cisaillage et jusqu'à 56% pour les faibles valeurs. Si il n'y a pas de reprise de bétonnage, les normes françaises conduisent à 9% d'économie pour les contraintes assez élevées et 23% pour les faibles valeurs.

3. Compression

En ce qui concerne la charge portante, les normes canadiennes sont plus avantageuses. Elles permettent d'augmenter la charge portante d'environ 10% en plus que les normes françaises. Les règles françaises utilisent moins d'acier pour les poteaux peu chargés et économie d'autant plus sensible si les charges sont plus importantes.

4. Critère de ruine.

Les deux normes utilisent les principes de la résistance des matériaux pour le calcul des flèches. Pour tenir compte de l'existence éventuelle des fissures les deux règlements substituent au moment d'inertie de la section totale pendue homogène un moment d'inertie fidif évalué empiriquement.

La fissuration n'est étudiée que de façon empirique. Il est plutôt désirable de contrôler la distribution et la largeur des fissures qu'à les éliminer. Les normes canadiennes

utilisent une formule empirique pour déterminer la largeur des fissures et déterminent des valeurs limites de largeur de fissures (0..40 mm pour exposition extérieure et 0.33 mm pour exposition intérieure) et donnent le nombre minimal de barres d'acier pour respecter ces critères. les normes Françaises donnent des règles à observer suivant la gravité de la fissuration.

Ainsi dans l'ensemble et dans le domaine pratique la théorie des états limites suivant l'approche Canadienne ou Française donnent à peu près les mêmes résultats.

BIBLIOGRAPHIE

- [1] Roger Lupien. Ingénieur, professeur à l'Ecole polytechnique de Thiers: Notes de cours: Béton armé I - Béton armé II
- [2] Norme Nationale du Canada. C.S.A. A23.3. M77
Règles de calcul des ouvrages en Béton dans les Bâtiments
- [3] Collection UTI. Document technique unifié
Règles techniques de conception et de calcul des ouvrages et constructions en Béton armé suivant la méthode des états limites: Editions Eyrolles - Règles B.A.E.L 80 - septembre 80
- [4] Alain Capra et Victor Davidovici:
Guide pratique d'utilisation des règles B.A.E.L 80
Editions Eyrolles
- [5] A de Ville de Goyet.
Calcul du Béton Armé aux états limites. Dunod Éditeurs. Paris 71
- [6] Henri THONIER, - Vafa Hachem-Safai et Mohammad RAHIMAN: Annales de l'Institut Technique du Bâtiment et des Travaux Publics. N° 372, Mai 1979
- [7] ARMAND Machdoudjian
Cours de Béton armé - Règles B.A.E.L et C.C.B.A 68
Editions Eyrolles

ANNEXES

ANNEXE A - NOTATIONS

Significations

Charge permanente
 Surcharge ou charge vive
 Charges dues au vent
 Effets cumulatifs de température, phragé, retrait, tassements différenciels
 Tremblement de terre
 Résistances caractéristiques à la compression et à la traction du béton âgé de 28 jours
 Modèle d'élasticité du béton
 Limite élastique de traction de l'acier
 Allongement relatif de l'armature tendue, comprimée
 Modèle d'élasticité de l'acier
 Contrainte dans l'acier tendue, comprimé
 Aire d'une section de béton
 Aire de l'acier comprimé, tendue
 Longeur de la section comprimée d'un élément
 Distance de la fibre extême comprimée au centroïde de l'acier tendue
 2nd aire de la fibre comprimée extême à l'aire neutre
 Distance de la fibre comprimée extême au centroïde de l'acier comprimé
 pourcentage d'acier en tension, compression

C.S.A A25.3 M77 B.A.E.L 80

D	G	G
L	Q	Q
W	$Q_i \rightarrow i$, W	$Q_i \rightarrow i$
T	$Q_i \rightarrow i$	si
E	f_{c28} , f_{t28}	f_{c28} , f_{t28}
E_c	E_c	E_c
f_y	f_y	f_y
E_s , ϵ'_s	E_s , ϵ'_s	ϵ'_s
f_s , f'_s	E_s	E_s
A _g	$6s$, $6s'$	$6s$, $6s'$
A'_s , A_s	A'_s , A_s	A'_s , A_s
b	b	b
d	d	d
c	c	x
d'	d'	c'
$\rho = A_s/bd$, $\rho' = A'_s/bd$	$\rho = A_s/bd$, $\rho' = A'_s/bd$	$\rho = A_s/bd$, $\rho' = A'_s/bd$

NOTATIONS (suite)

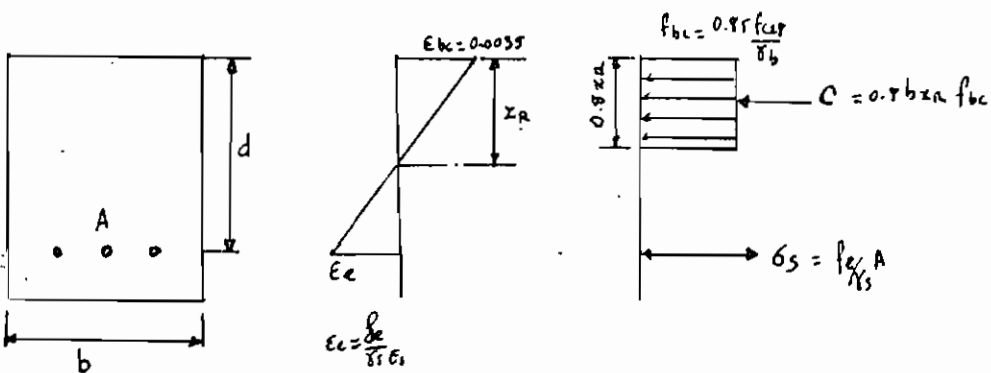
Significations	C.S.A. A 23.3 M 77	B.A.E.L 80
Epaisseur de la semelle d'une poutre	h_F	h_0
Largur de l'âme	b_w	b_0
Moment fléchissant	M	M
Moment fléchissant développé par les charges permanentes	M_D	M_C
Moment fléchissant développé par les charges vives ou surcharges	M_L	M_Q
Moment ultime , Moment de service	M_u , M_s	M_u , M_{ser}
Effort tranchant	V_u	V_u
Contrainte de cisaillement	τ_u	τ_u
Espacement entre les armatures transversales	s	s_t
Section des armatures transversales	A_v	A_t
Charge axiale ultime , de service	P_u , P_s	N_u , N_{ser}
Écartement de la résultante des contraintes normales par rapport au centre de gravité de la section	e_0	e_0
Longueur de flambement	K_L	l_f
rayon de giration d'une section	r	r
Elancement mécanique d'une pièce comprimée	$k \frac{L_u}{r}$	A

Notations (français)	Significations	C.S.A. A 23.3 M77	B.A.E.L 80
<p>flèche instantanée au chargement</p> <p>flèche à long terme</p> <p>Moment d'inertie utilisé pour le calcul des flèches</p> <p>Moment de fissuration</p> <p>Moment maximum en travee</p> <p>Moment rotatoire</p>	<p>Δ_i</p> <p>$\lambda_d \alpha_i$</p> <p>I_c</p> <p>I_f</p> <p>H_{cr}</p> <p>H_a</p> <p>H_b</p> <p>M_0</p>	<p>f_i</p> <p>f_v</p> <p>$I_{f_i} \text{ ou } I_{f_v}$</p> <p>$H_f$</p>	

ANNEXE B

Règles B.A.E.L 80

- Pourcentage d'armature de tension maximale d'une section rectangulaire (ρ_{max})



Par triangles semblables on a $\frac{x_R}{d} = \frac{E_{bc}}{E_{bc} + E_e} \Rightarrow x_R = d \cdot \left(\frac{E_{bc}}{E_{bc} + E_e} \right)$

équilibre des forces internes

$$s_s = c \quad A \frac{f_e}{s_s} = 0.8 b x_R f_{bc}$$

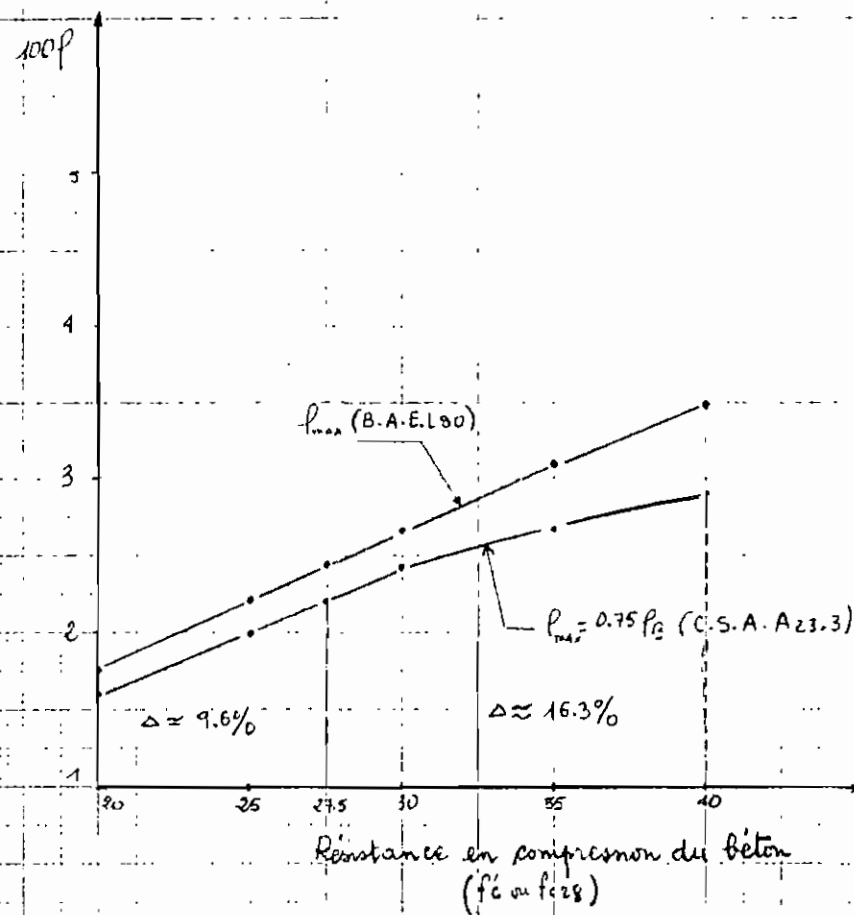
$$\Rightarrow A = \frac{0.8 b x_R f_{bc}}{f_e / s_s}$$

$$\rho_{max} = \frac{A}{bd} = \frac{0.8 x_R f_{bc}}{f_e / s_s d} = \frac{0.8 \times 0.85 f_{c,28} \times d E_{bc}}{8b \frac{f_e}{s_s} d (E_{bc} + E_e)} =$$

$$= 0.8 \times 0.85 \frac{f_{c,28} \times s_s}{f_e} \times \left(\frac{0.0035}{0.0035 + \frac{f_e}{s_s} E_s} \right) \quad E_s = 200000 \text{ MPa}$$

$$\boxed{\rho_{max} = 0.8 \times 0.85 \frac{f_{c,28}}{f_e} \frac{s_s}{8b} \left(\frac{700}{700 + \frac{f_e}{s_s}} \right)}$$

Pourcentage d'armature de tension maximale
permis pour un acier de 400 MPa en fonction de
la capacité du béton.



Résistance en compression du béton
(f'_c ou f'_cs)

$$0.75 f'_c = 0.75 \times 0.85 \beta_1 \frac{f'_c}{f_y} \left(\frac{600}{600 + f_y} \right) \quad (\text{C.S.A. A23.3 173})$$

$$f'_{max} (\text{B.A.E.L.80}) = 0.8 \times 0.85 \frac{f'_{c,e,g}}{f_y} \frac{\gamma_s}{\gamma_b} \left(\frac{700}{700 + f_e/\gamma_s} \right)$$

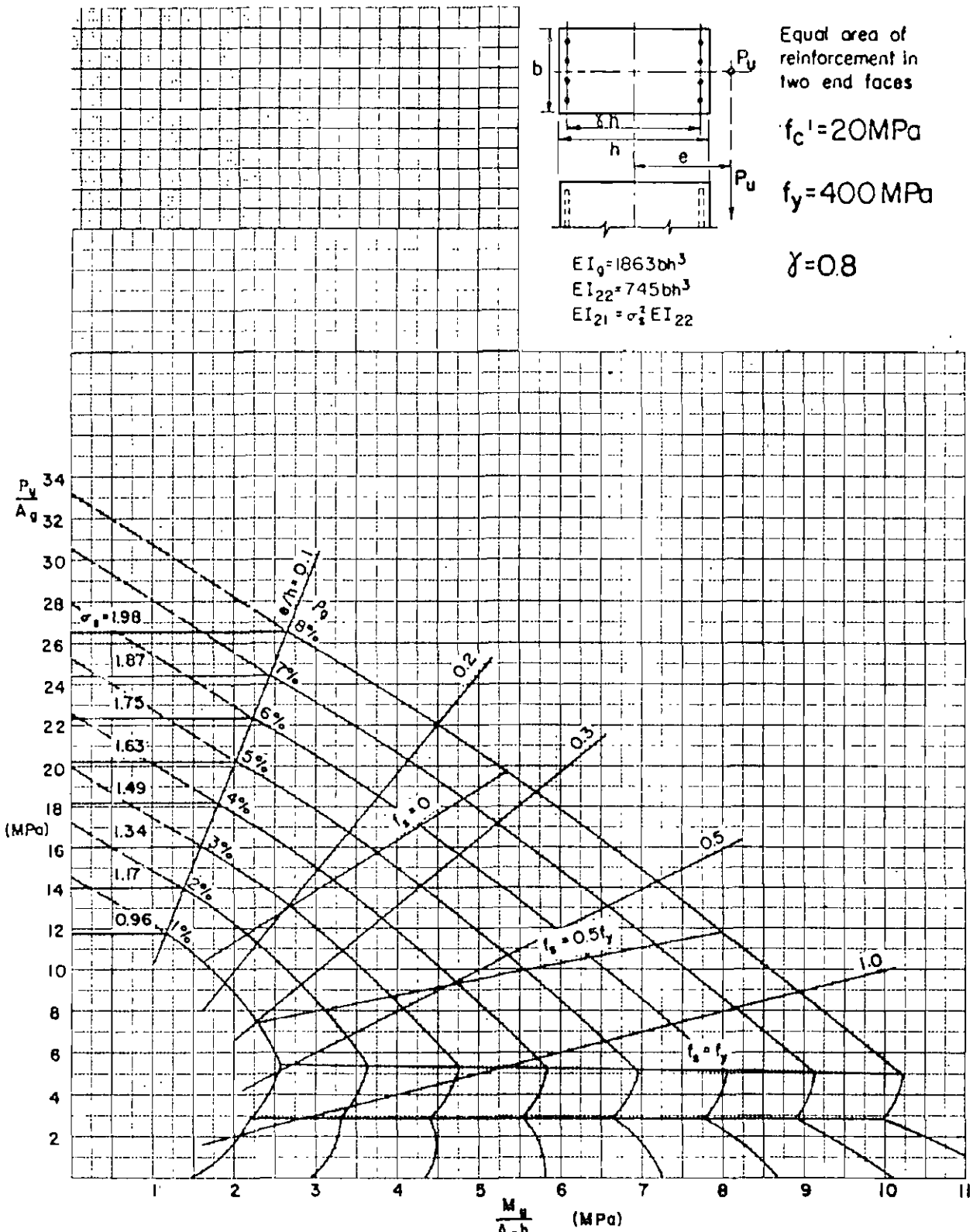


Fig. 3.62 Column Interaction Diagram ,
Rectangular Tied Columns

ABAQUE D'INTERACTION 3 10 SECTION RECTANGULAIRE A ARMATURES SYMETRIQUES

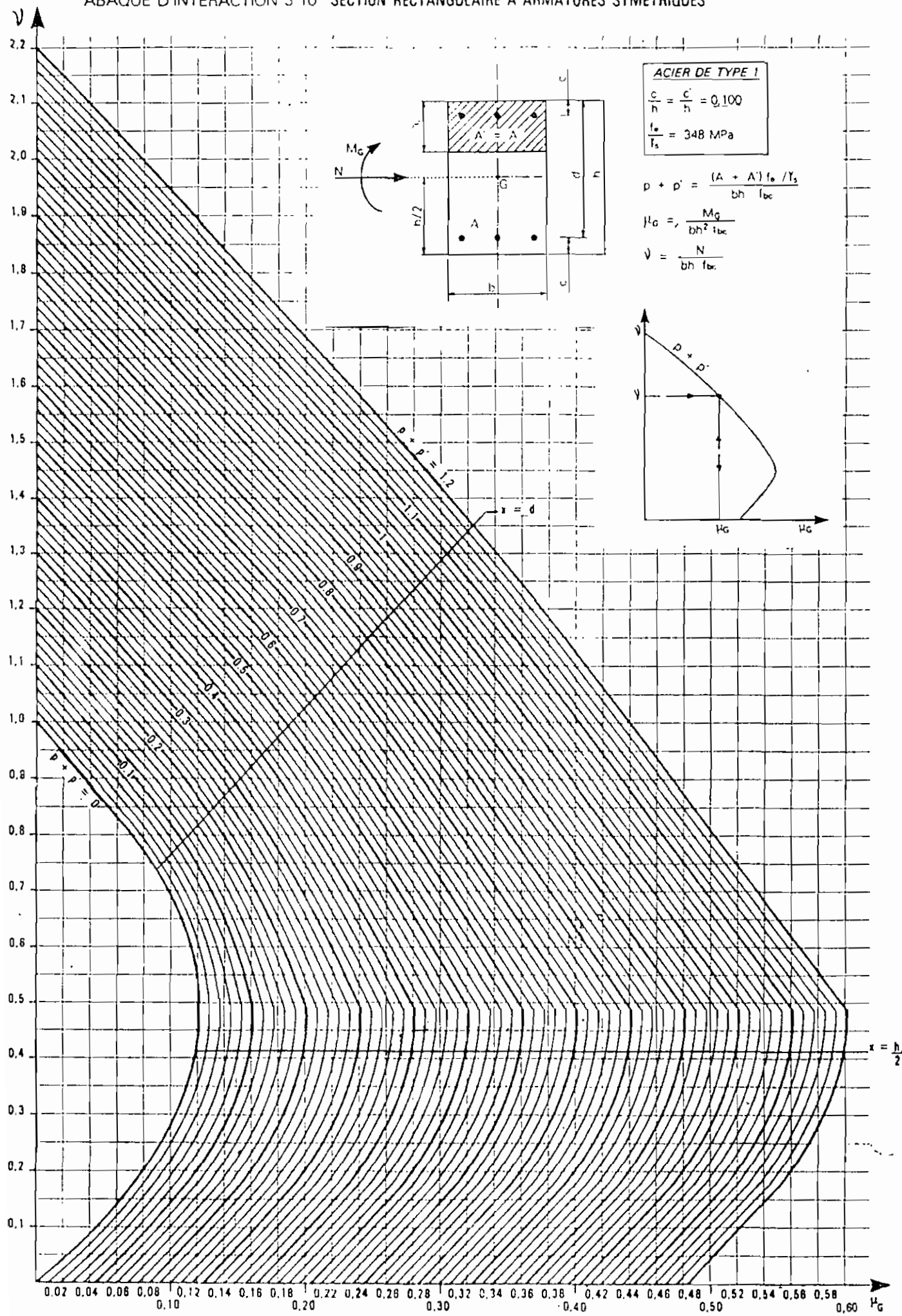
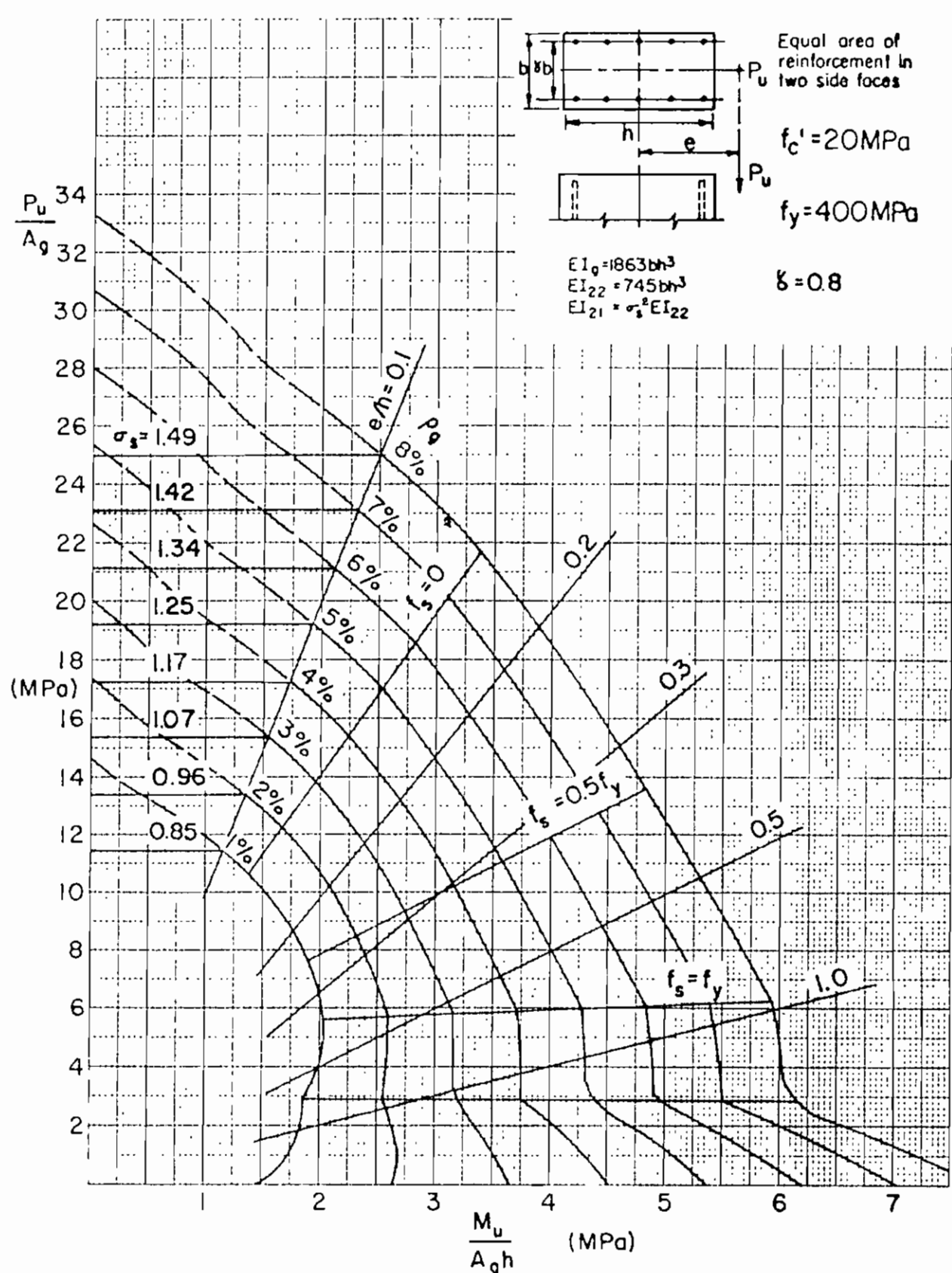


Fig. 3.47 "Metric Design Handbook"

Fig. 3.47 Column Interaction Diagram
Rectangular Tied Columns

ABAQUE 4.8 FLAMBEMENT DES POTEAUX A SECTION RECTANGULAIRE - ARMATURES SYMETRIQUES

